ФГБУ «Арктический и антарктический научно-исследовательский институт» Мировой центр данных по морскому льду



Информационные материалы по мониторингу морского ледяного покрова Арктики и Южного Океана на основе данных ледового картирования и пассивного микроволнового зондирования SSMR-SSM/I-SSMIS-AMSR₂

Санкт-Петербург 2025

тел. +7(812)337-3149, эл.почта: <u>vms@aari.aq</u> Адрес в сети Интернет: <u>http://wdc.aari.ru/datasets/doo42/</u>

Содержание

Северное Полушарие	3
Рисунок 1а – Обзорная ледовая карта СЛО (цветовая раскраска по общей сплоченности)	3
Рисунок 16 – Обзорная ледовая карта СЛО (цветовая раскраска по преобладающему возрасту)	4
Рисунок 1в - Оценка толщины льда на основе данных ИСЗ AMSR2	
Рисунок 1г – Положение кромки льда и зон разреженных и сплоченных льдов СЛО	6
Рисунок 1д – Обзорная ледовая карта СМП	7
Рисунок 2а – Ледовые условия за 24.01 - 28.01.2025. и аналогичные периоды 2007-2024 гг	8
Рисунок 2б – Поля распределения средневзвешенной толщины льда совместной модели морского льда	10
Рисунок 2в – Аномалия температуры поверхности морского льда и океана (к периоду 1991-2020 гг.)	11
Рисунок 2г – Поле дрейфа морского льда Арктики за последнюю неделю	
Рисунок 2д – Ежедневные оценки сезонного хода объема морского льда СЛО	13
Рисунок 2е – Аномалии приземной температуры воздуха (2м) и осредненные вектора скорости ветра	14
Рисунок 2ж – Аномалии приземной суммы осадков за последнюю пентаду 2022-2025 гг	15
Таблица 1 - Медианные значения ледовитости для Северной полярной области	16
Таблица 2 – Экстремальные и средние значения ледовитости для Северной полярной области	17
Таблица 3 – Динамика изменения значений ледовитости для морей Северной полярной области	
Рисунок 3а – Ежедневные оценки сезонного хода ледовитости для Северной Полярной Области	19
Рисунок 3б – Ежедневные оценки сезонных изменений ледовитости для Северной Полярной Области	20
Южный океан	21
Рисунок 5а – Ледовая карта Южного океана (цветовая окраска по общей сплоченности)	21
Рисунок 5б – Ледовая карта Южного океана (цветовая окраска по возрасту)	22
Рисунок 5в – Положение кромки льда и зон разреженных и сплоченных льдов Южного океана	23
Таблица 4 – Линейные размеры крупных айсбергов Южного океана	26
Рисунок 7а – Ежедневные оценки сезонного хода ледовитости Южного Океана	27
Рисунок 7б – Ежедневные оценки сезонных изменений ледовитости для Южного океана	28
Таблица 5 - Медианные значения ледовитости для Южного океана	
Таблица 6 – Экстремальные значения ледовитости для Южного океана и 3 меридиональных секторов	
Таблица 7 – Динамика изменения значений ледовитости для морей Южного океана	29
Рисунок 9 – Ежедневные сглаженные значения ледовитости (площади распространения морского льда)	
Арктики, Антарктики и Земли в целом	30
Рисунок 10 – Ежедневные сглаженные значения приведенной ледовитости (площади морского льда)	
Арктики, Антарктики и Земли в целом	31
Рисунок 11 – Ежедневные сглаженные значения средней общей сплоченности Арктики и Антарктики	32
Приложение 1 – Статистические значения ледовитостей по отдельным акваториям Северной Полярной Обл	іасти
и Южного океана	
Таблица 8 – Средние, аномалии среднего и экстремальные значения ледовитостей для Северной и Южной	й
полярных областей и её отдельных акваторий	33
Таблица 10 – Динамика изменения значений ледовитости по сравнению с предыдущей неделей для морей	й
Северной полярной области и Южного океана	
Характеристика исходного материала и методика расчетов	38
Список источников	43

Северное Полушарие

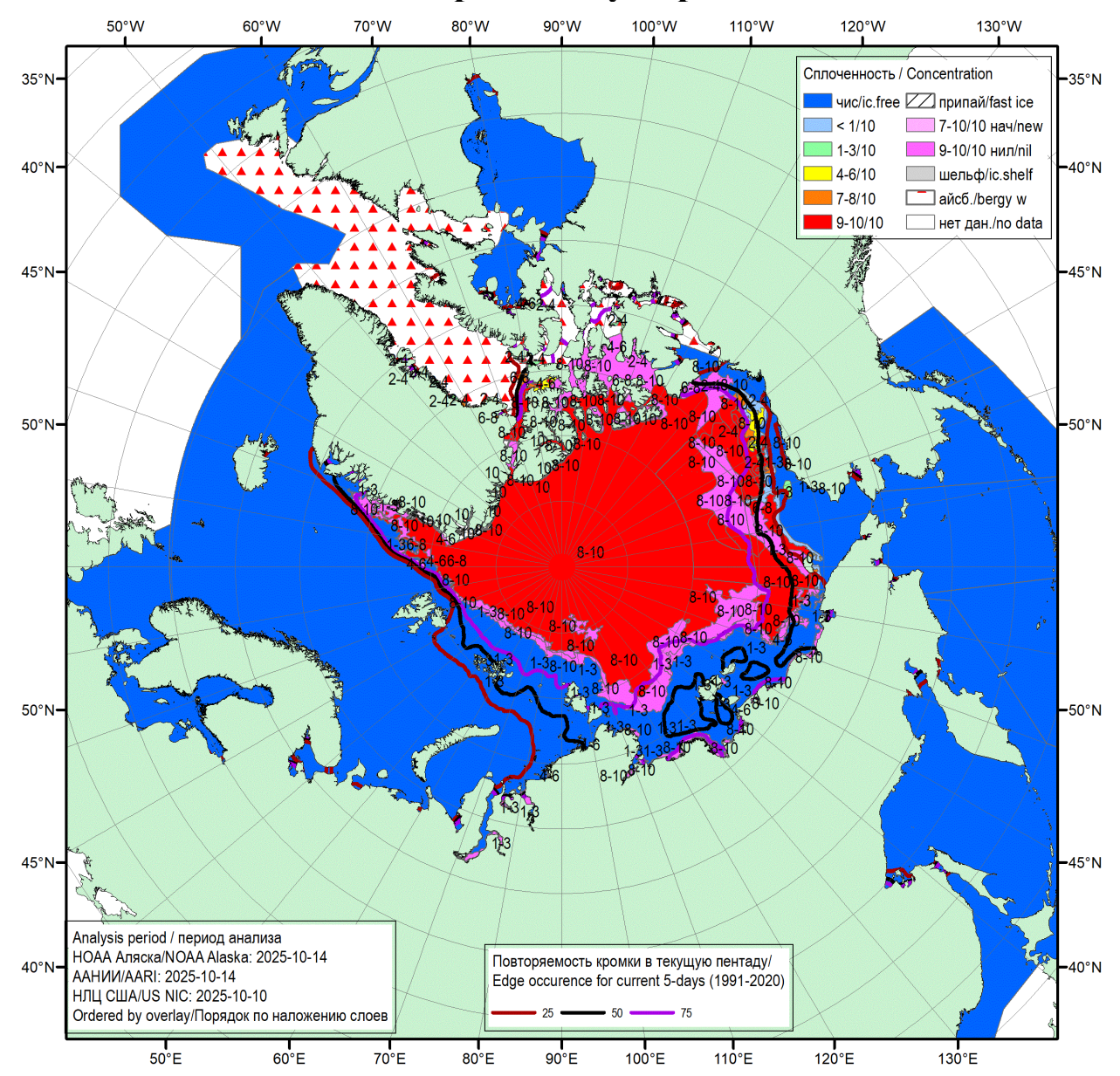


Рисунок 1а — Обзорная ледовая карта СЛО за 10.10.2025 — 14.10.2025 (цветовая раскраска по общей сплоченности) на основе ледового анализа НОАА Аляска, ААНИИ и Национального ледового центра США и повторяемость кромки за соответствующий 5-дневный период за 1991-2020 гг. по наблюдениям SSMR-SSM/I-SSMIS (алгоритм NASATEAM) [4, 10, 23, 17].

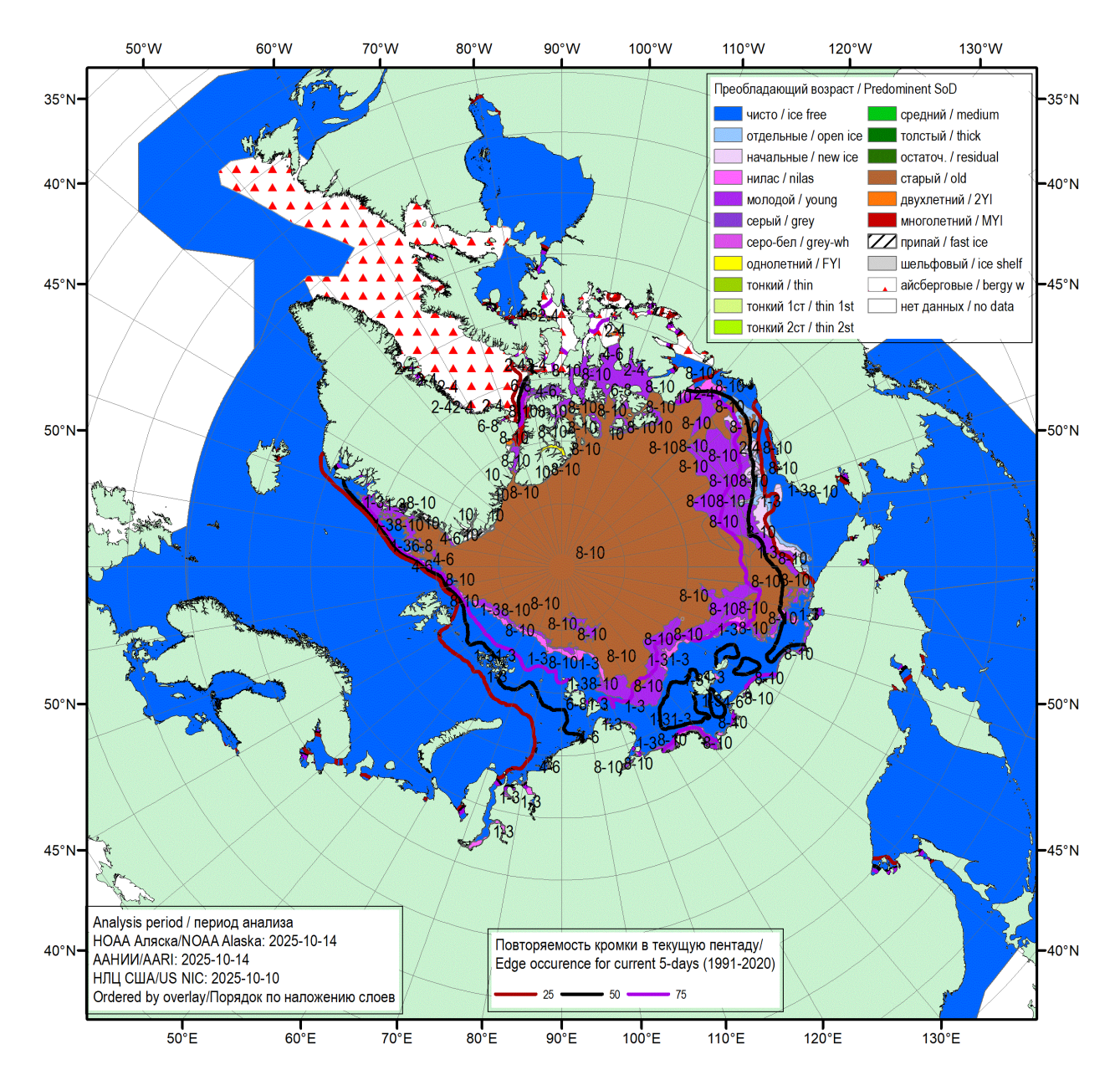


Рисунок 16 — Обзорная ледовая карта СЛО за 10.10.2025 — 14.10.2025 (цветовая раскраска по преобладающему возрасту) на основе ледового анализа НОАА Аляска, ААНИИ и Национального ледового центра США и повторяемость кромки за соответствующий 5-дневный период за 1991-2020 гг. по наблюдениям SSMR-SSM/I-SSMIS (алгоритм NASATEAM) [4, 10, 23, 17].

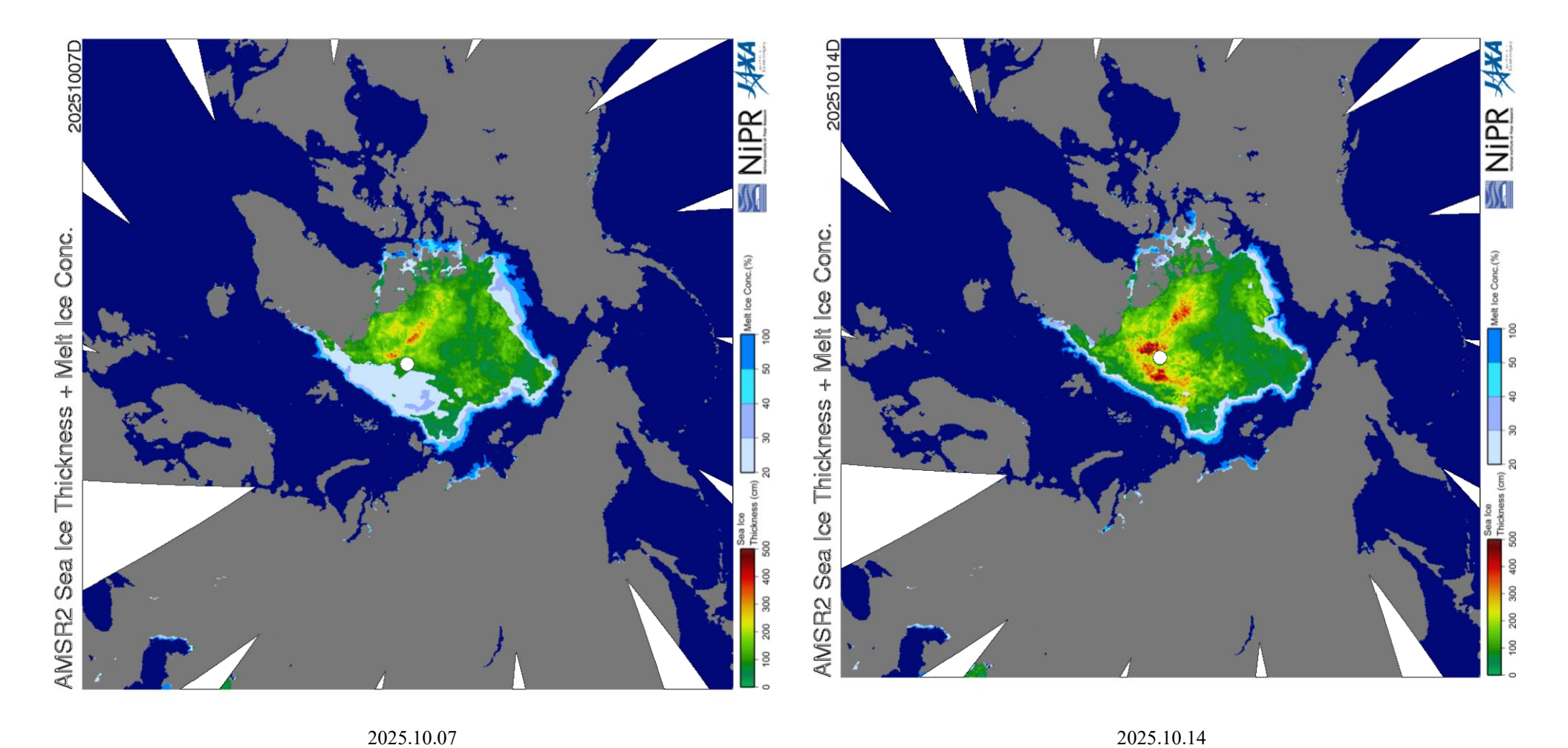


Рисунок 1в - Оценка толщины льда и степени разрушенности на основе данных пассивного микроволнового зондирования AMSR2 за текущий и предыдущий сроки [29].

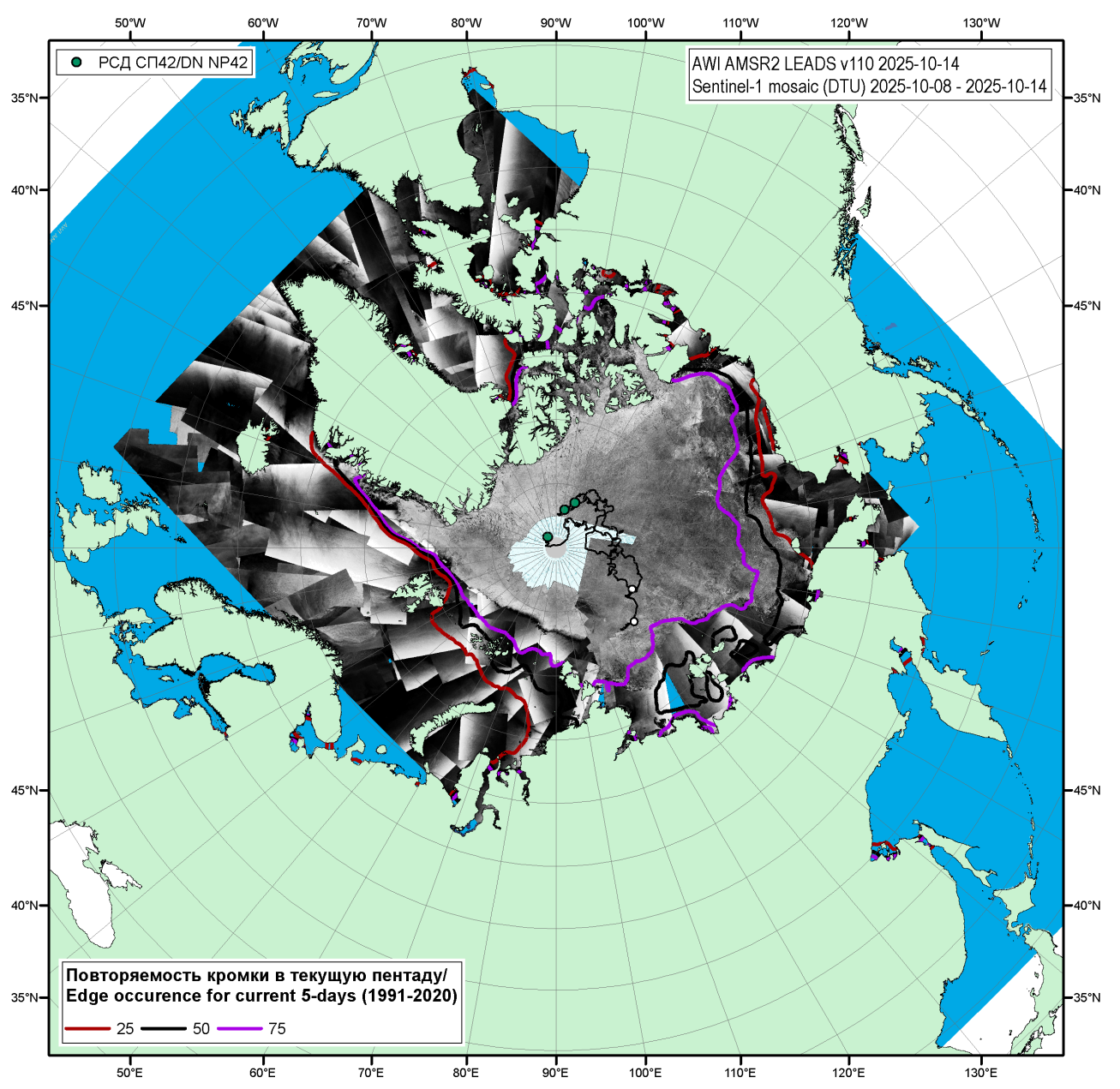


Рисунок 1г — Мозаика снимков Sentinel-1 (DTU) за 08.10.2025 — 14.10.2025, положение крупных полыней по данным AMSR2 за 14.10.2025 (AWI v110), повторяемость кромки за соответствующий 5-дневный период за 1991-2020 гг. по наблюдениям SSMR-SSM/I-SSMIS (алгоритм NASATEAM) и положение PCH СП-42 на 15.10.2025 г. 08:00MCK.

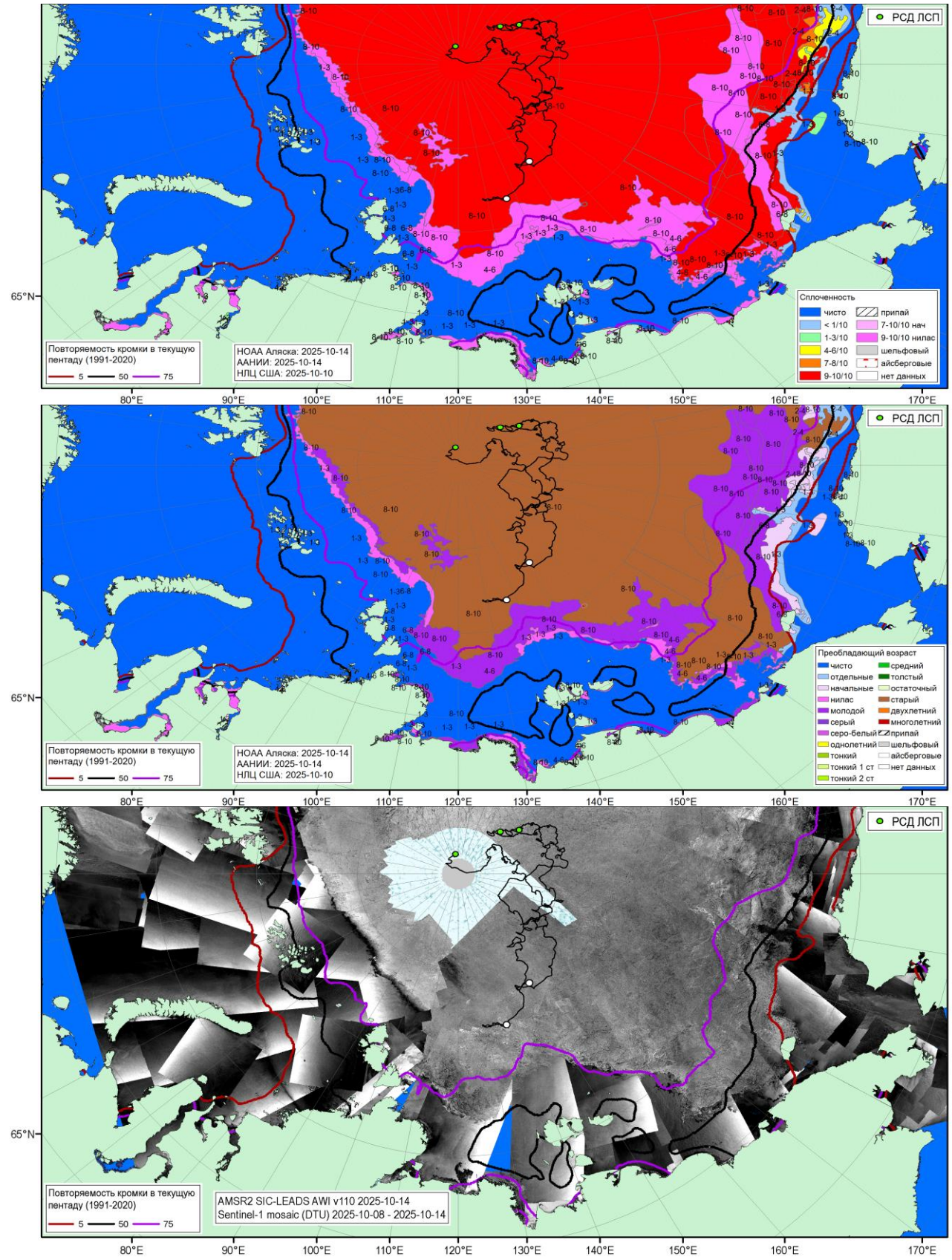


Рисунок 1д — Обзорная ледовая карта СМП за 14.10.2025 г. на основе ледового анализа НОАА Аляска, ААНИИ, мозаика снимков Sentinel-1 за 08.10-14.10.2025, положение крупных полыней по данным AMSR2 за 14.10.2025 (AWI v110), повторяемость кромки за соответствующий 5-дневный период 1991-2020 гг. по наблюдениям SSMR-SSM/I-SSMIS (алгоритм NASATEAM) и положение РСН СП-42 на 15.10.2025 0800MCK [27, 28, 17].

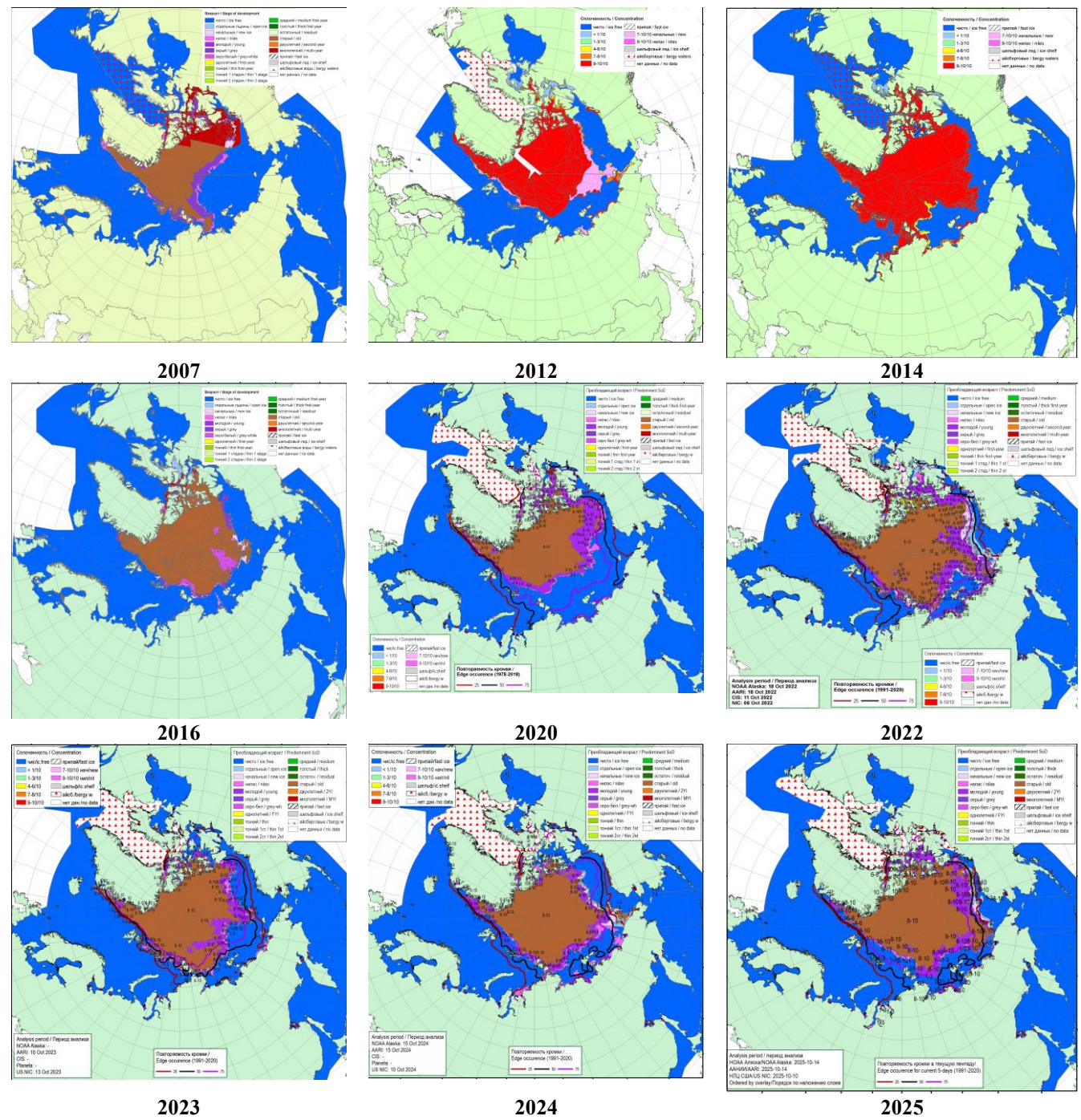


Рисунок 1ж — Ледовые условия за 10.10 - 14.10.2025. и аналогичные периоды 2007-2024 гг. на основе ледового анализа ААНИИ, НИЦ Планета, Канадской ледовой службы, Национального ледового центра США и НОАА Аляска [4, 10, 12, 23, 17].

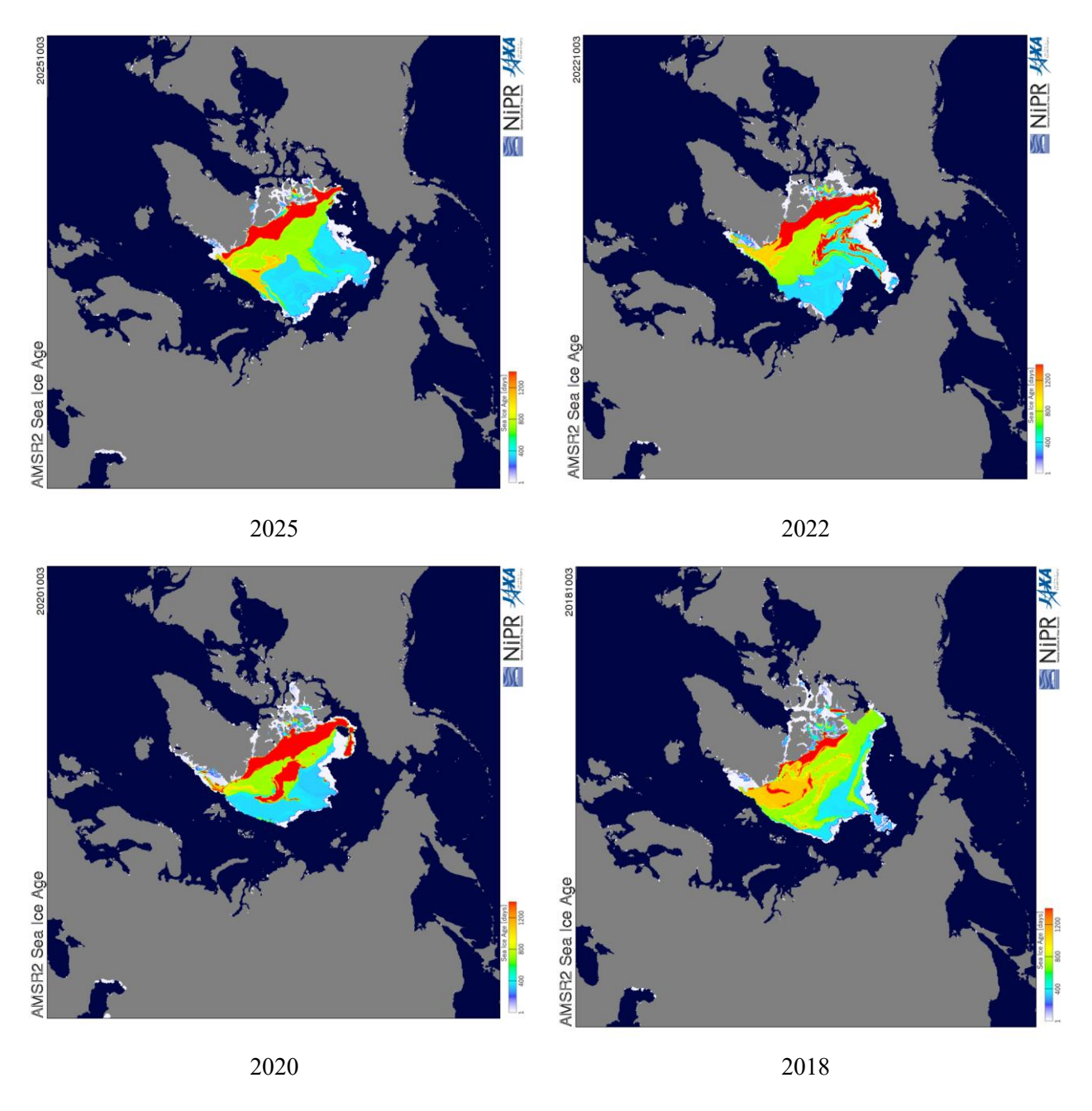


Рисунок 2a — Оценка возраста льда (сутки) на 03.10 за 2018 — 2025 гг. по данным JAXA-NIPR [29]

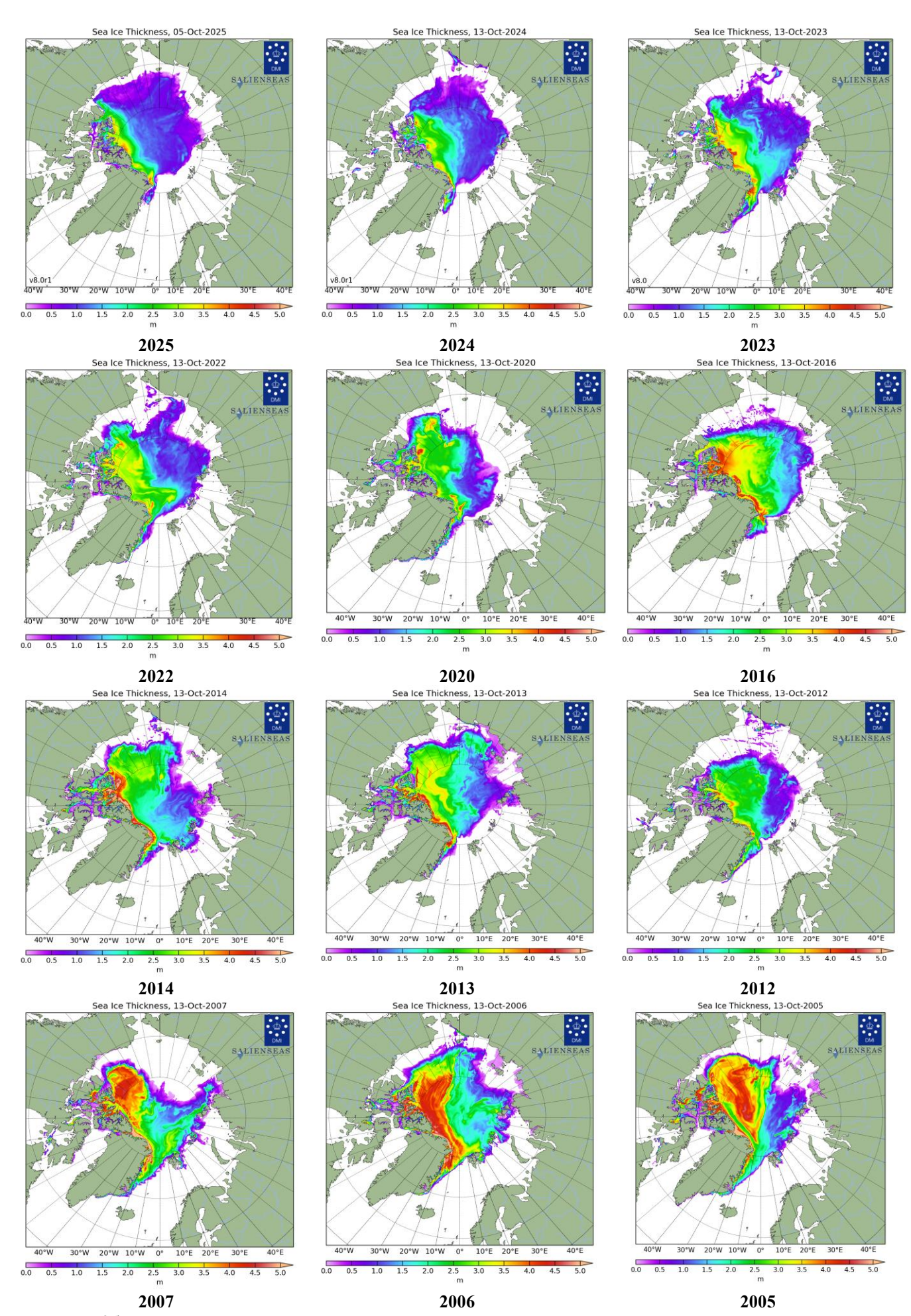


Рисунок 26 — Поля распределения средневзвешенной толщины льда совместной модели морского льда — океана HYCOM/CICE Датского метеорологического института 14.10 за 2005-2025 гг. [22].

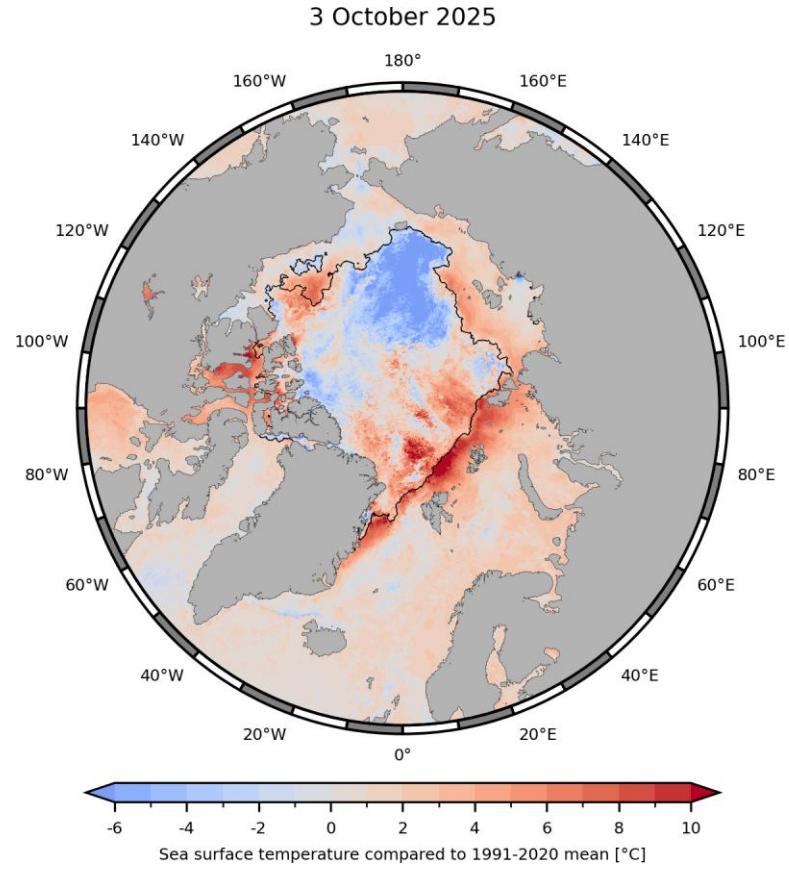


Рисунок 2в — Аномалия температуры поверхности морского льда и океана (к периоду 1991-2020 гг.) Датского метеорологического института за последний доступный срок [22]

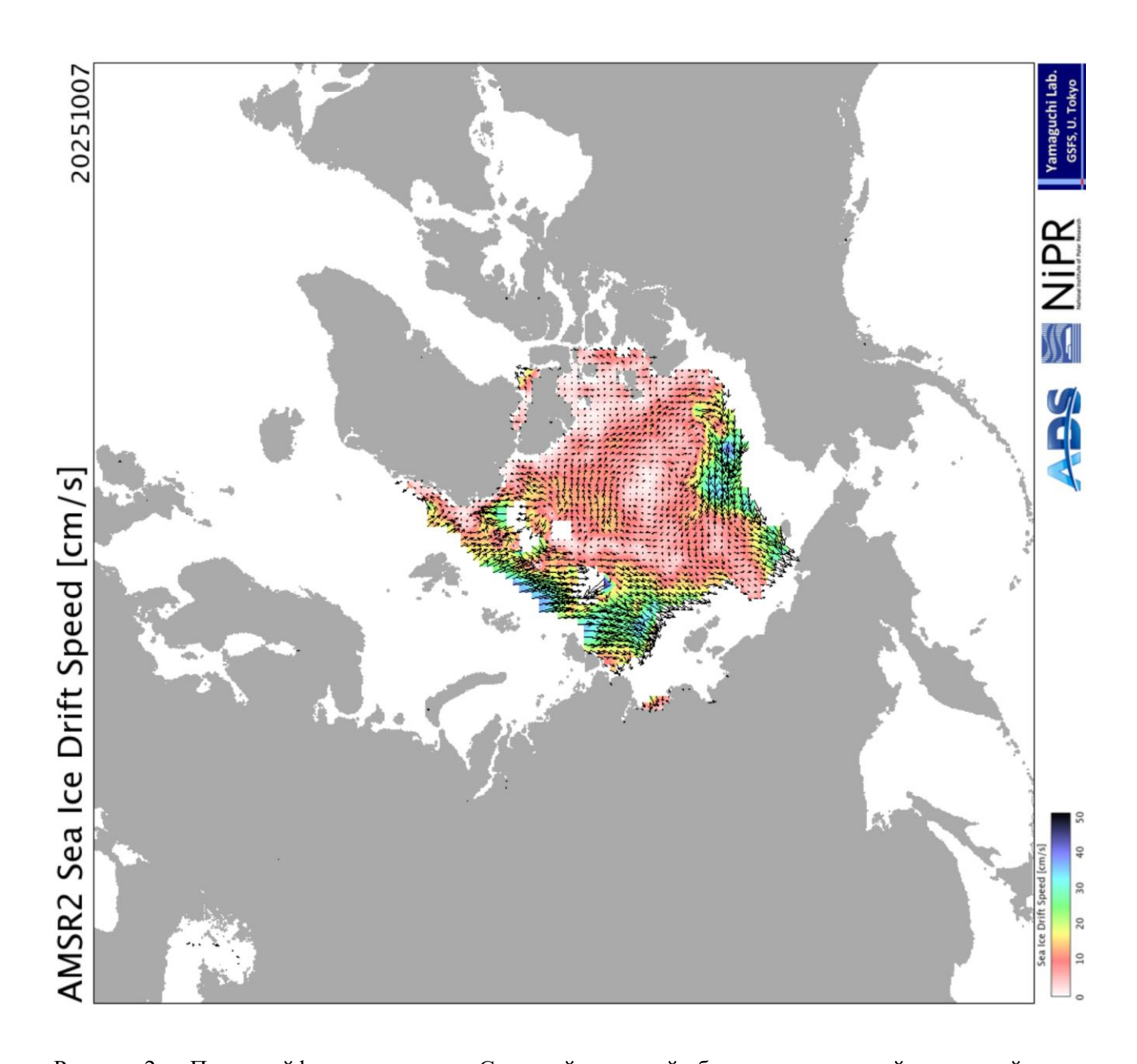


Рисунок 2Γ — Поле дрейфа морского льда Северной полярной области за последний доступный срок по данным AMSR2, источник JAXA [29].

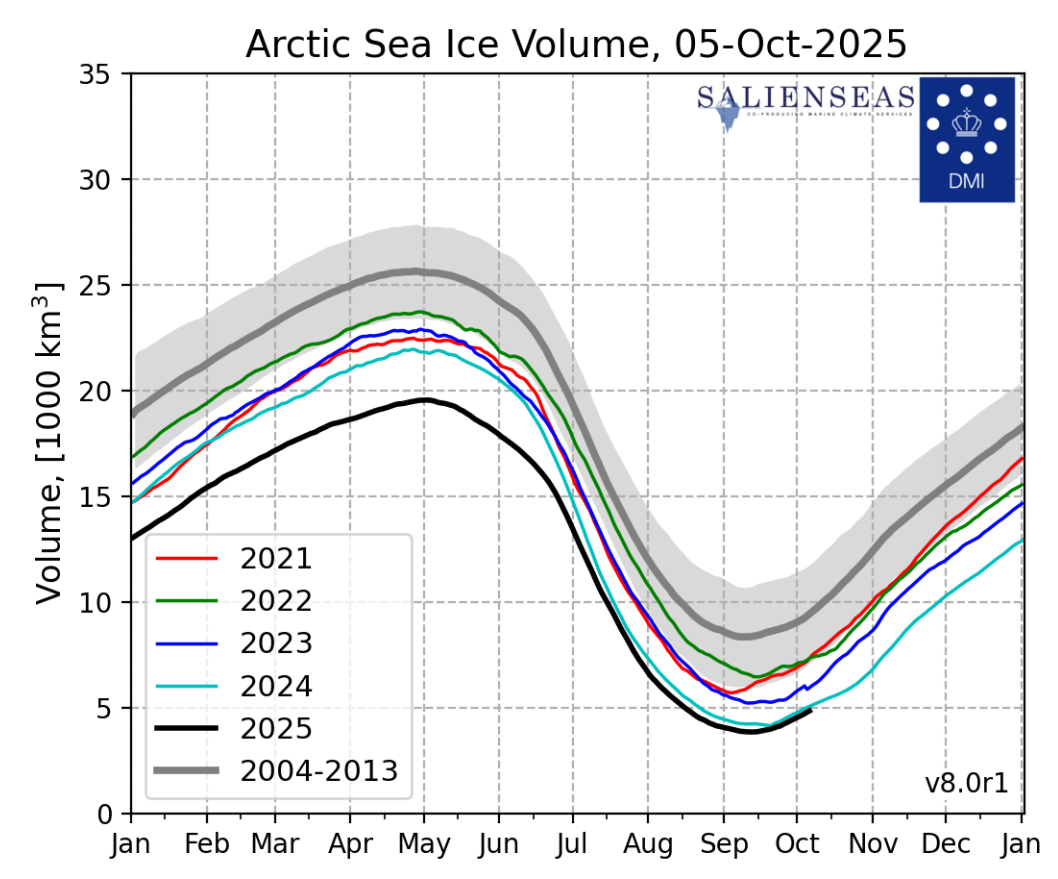


Рисунок 2д — Ежедневные оценки сезонного хода объема морского льда СЛО на основе расчетов средневзвешенной толщины льда совместной модели морского льда — океана HYCOM/CICE Датского метеорологического института с 28.02.2004 по последний доступный срок [22].

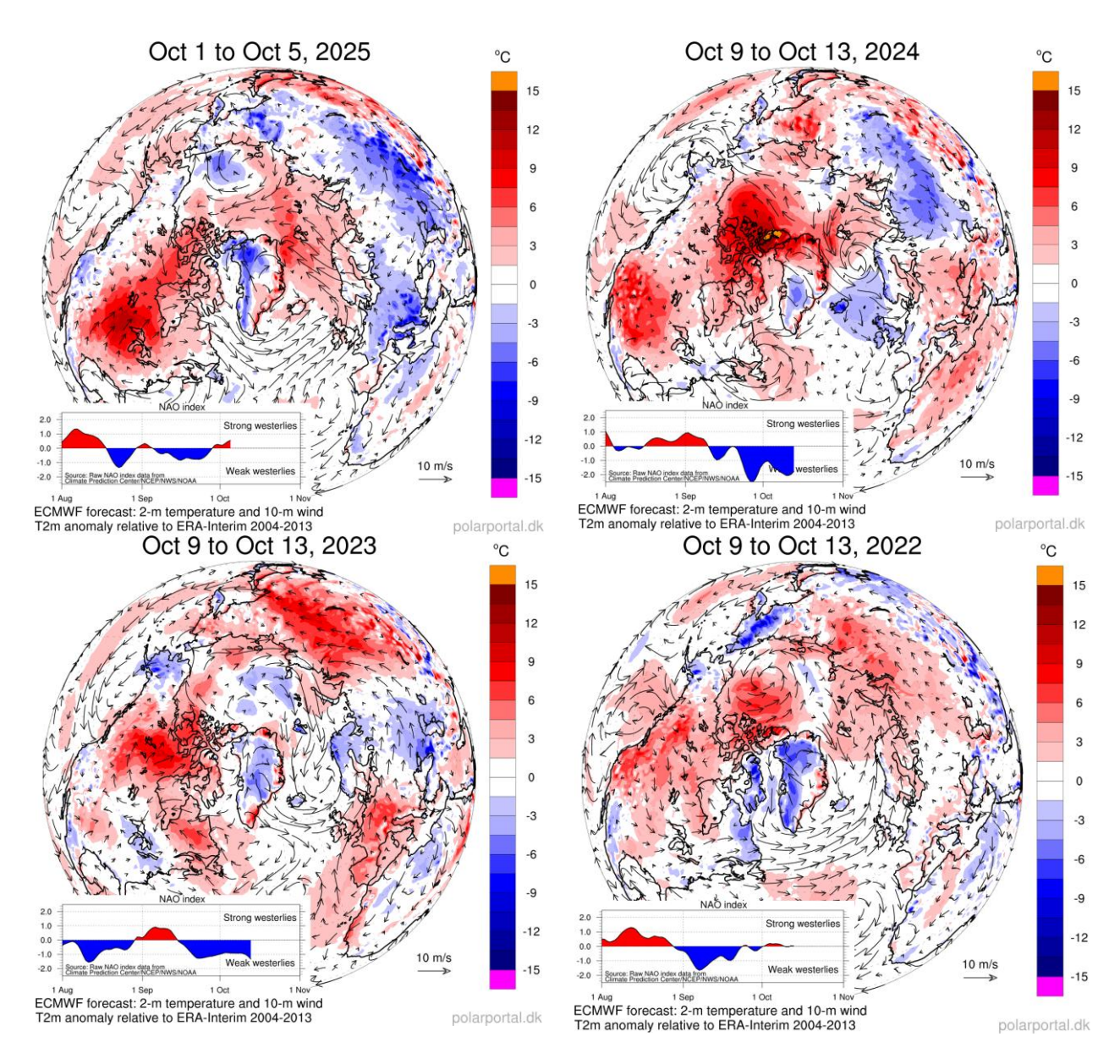


Рисунок 2е — Аномалии приземной температуры воздуха (2м) и осредненные вектора скорости ветра (10 м) за последнюю пентаду 2022-2025 гг. относительно периода 2004-2013 гг. (http://polarportal.dk) [22]

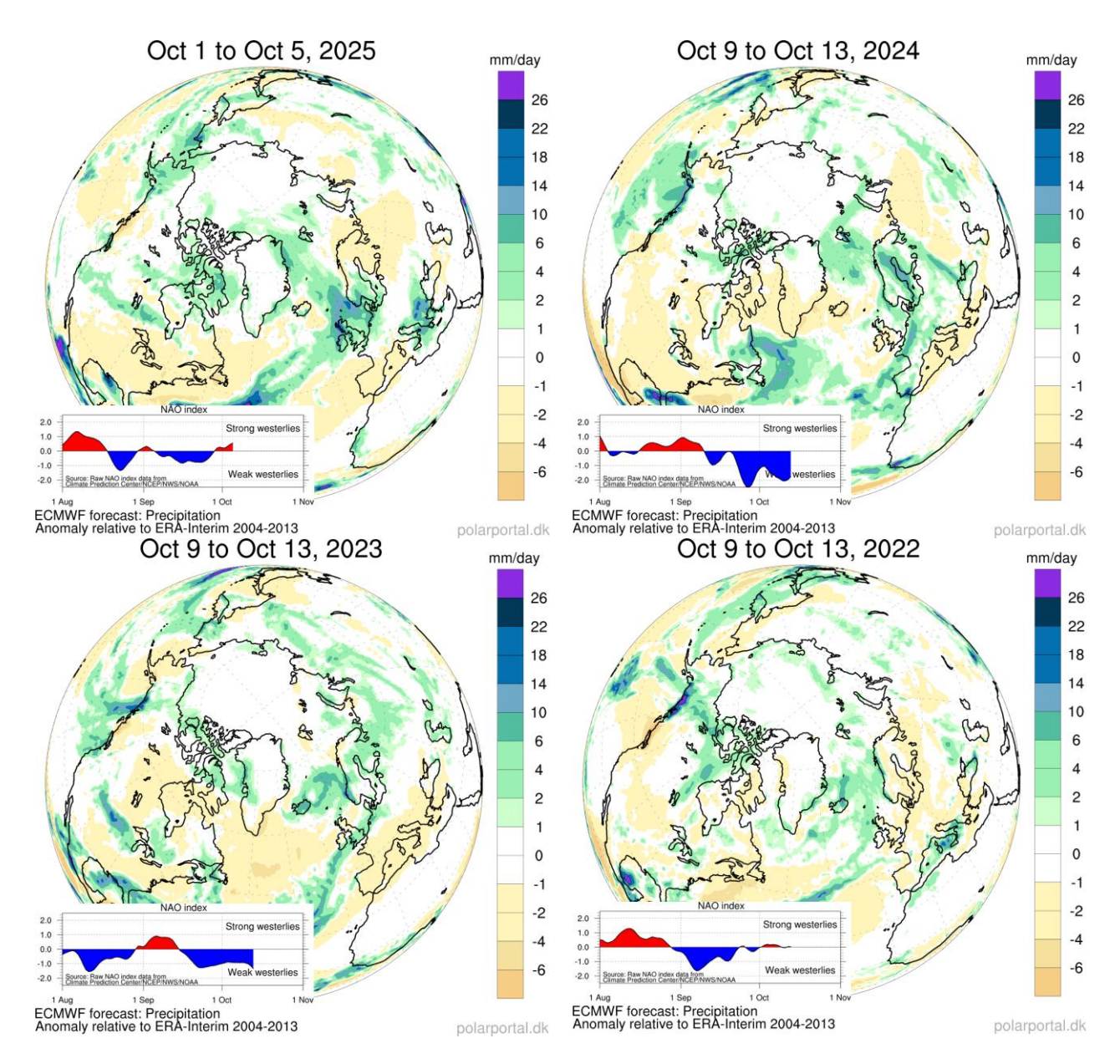


Рисунок 2ж — Аномалии приземной суммы осадков за последнюю пентаду 2022-2025 гг. относительно периода 2004-2013 гг [22].

Таблица 1 - Медианные значения ледовитости для Северной полярной области, 3-х меридиональных секторов и морей СМП за текущие 30 и 7-дневные интервалы, и её аномалии от 2020-2024 гг. и интервалов 2015-2025 гг. и 1978-2025 гг. по данным наблюдений SSMR-SSM/I-SSMIS, алгоритмы NASATEAM [13-17]

Северная	попарыза	обпасть
Северная	понярная	OUHAGIB

Месяц	S, тыс.	Аномалии, тыс км2/%								
Месяц	км2	2020 г	2021 г	2022 г	2023 г	2024 г	2015-2025гг	1978-2025гг		
13.09-12.10	5359.3	955.2	-58.4	1.0	496.2	583.1	370.9	-982.2		
13.09-12.10	5559.5	21.7	-1.1	0.0	10.2	12.2	7.4	-15.5		
06 12 10	6022.5	1121.6	-27.5	69.7	425.9	822.2	459.1	-1061.5		
06-12.10	6032.5	22.8	-0.5	1.2	7.6	15.8	8.2	-15.0		

Сектор 45°W-95°E (Гренландское - Карское моря)

Месяц	S, тыс.	Аномалии, тыс км2/%								
месяц	месяц км2		2021 г	2022 г	2023 г	2024 г	2015-2025гг	1978-2025гг		
12 00 12 10	994.1	-16.8	-42.8	-269.0	-388.9	-94.3	-165.7	-502.6		
13.09-12.10		-1.7	-4.1	-21.3	-28.1	-8.7	-14.3	-33.6		
06 12 10	967.9	-199.6	-304.1	-332.1	-532.4	-282.4	-292.1	-709.2		
06-12.10		-17.1	-23.9	-25.5	-35.5	-22.6	-23.2	-42.3		

Сектор 95°E-170°W (моря Лаптевых - Чукотское, Берингово, Охотское)

Месяц	S, тыс.		Аномалии, тыс км2/%								
месяц	месяц км2		2021 г	2022 г	2023 г	2024 г	2015-2025гг	1978-2025гг			
13.09-12.10	1888.1	1076.0	292.5	273.7	502.3	254.0	427.4	-195.6			
13.09-12.10		132.5	18.3	17.0	36.2	15.5	29.3	-9.4			
06 10 10	2076.5	1173.9	223.5	111.5	381.1	230.5	385.8	-341.1			
06-12.10		130.0	12.1	5.7	22.5	12.5	22.8	-14.1			

Сектор 170°W-45°W (море Бофорта и Канадская Арктика)

Месяц	S, тыс.		Аномалии, тыс км2/%								
месяц	км2		2021 г	2022 г	2023 г	2024 г	2015-2025гг	1978-2025гг			
13.09-12.10	2477.1	-103.9	-308.0	-3.6	382.9	423.4	109.2	-284.0			
13.09-12.10		-4.0	-11.1	-0.1	18.3	20.6	4.6	-10.3			
06 10 10	2988.1	147.3	53.0	290.2	577.1	874.1	365.5	-11.3			
06-12.10		5.2	1.8	10.8	23.9	41.4	13.9	-0.4			

Северный Ледовитый океан

Moogu	Ѕ, тыс.	Аномалии, тыс км2/%								
Месяц	км2	2020 г	2021 г	2022 г	2023 г	2024 г	2015-2025гг	1978-2025гг		
13.09-12.10	5052.2	963.3	-82.6	-0.6	488.8	571.7	270.8	-1156.4		
13.09-12.10	5052.2	23.6	-1.6	0.0	10.7	12.8	5.7	-18.6		
06 12 10	ECE4 0	1127.7	-113.6	38.8	429.6	803.3	335.9	-1259.1		
06-12.10	5651.0	24.9	-2.0	0.7	8.2	16.6	6.3	-18.2		

Моря СМП (моря Карское-Чукотское)

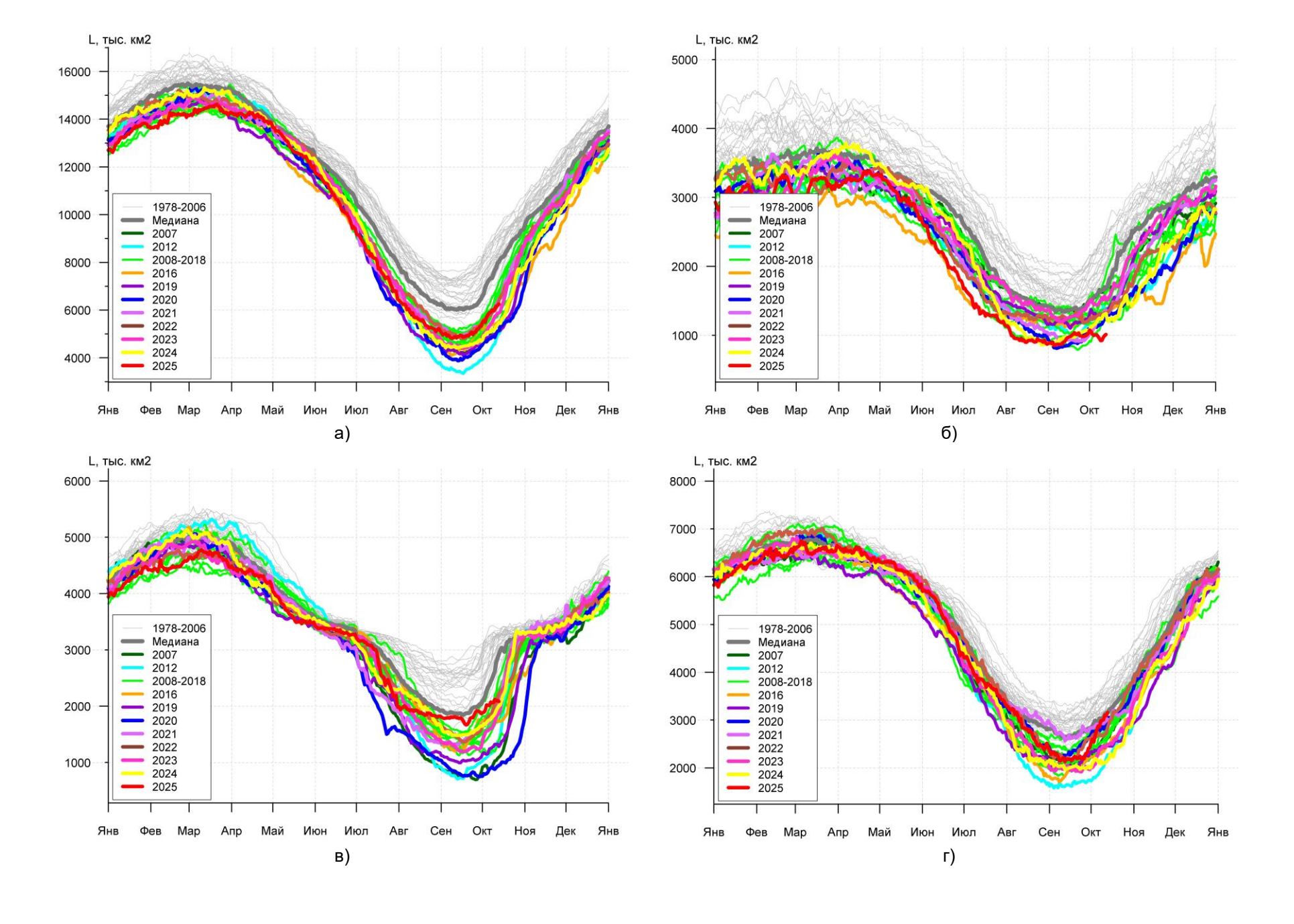
			moph cimi (moph napones lynerones)							
Месяц	Ѕ, тыс.		Аномалии, тыс км2/%							
імесяц	км2	2020 г	2021 г	2022 г	2023 г	2024 г	2015-2025гг	1978-2025гг		
13.09-12.10	000 10 10 500 1	477.3	172.9	115.4	191.3	215.0	217.7	-441.9		
13.09-12.10	508.1	1548.0	51.6	29.4	60.4	73.4	75.0	-46.5		
06-12.10	10 686.3	649.3	96.4	72.4	293.9	247.7	253.4	-596.1		
00-12.10		1750.7	16.3	11.8	74.9	56.5	58.5	-46.5		

Таблица 2 — Экстремальные и средние значения ледовитости для Северной полярной области, 3 меридиональных секторов и моря СМП за текущий 7-дневный интервал по данным наблюдений [13-17]

Северная полярная область Месяц Минимальное знач. Максимальное знач. Среднее знач. Медиана 4243.9 9382.0 06-12.10 7094.0 7291.9 06.10.2012 12.10.1982 Сектор 45°W-95°E (Гренландское - Карское моря) Месяц Минимальное знач. Максимальное знач. Среднее знач. Медиана 925.2 2497.1 1677.0 06-12.10 1603.6 09.10.2025 12.10.1982 Сектор 95°E-170°W (моря Лаптевых - Чукотское, Берингово, Охотское) Месяц Минимальное знач. Максимальное знач. Среднее знач. Медиана 3439.3 881.2 06-12.10 2417.6 2488.5 10.10.2020 08.10.1983 Сектор 170°W-45°W (море Бофорта и Канадская Арктика) Минимальное знач. Месяц Максимальное знач. Среднее знач. Медиана 3806.4 1858.3 06-12.10 2999.3 3026.6 12.10.1996 06.10.2012 Северный Ледовитый океан Месяц Минимальное знач. Максимальное знач. Среднее знач. Медиана 4129.1 9152.1 06-12.10 6910.1 7089.9 06.10.2012 12.10.1982 Моря СМП (моря Карское-Чукотское) Среднее знач. Месяц Минимальное знач. Максимальное знач. Медиана 31.8 2538.0 06-12.10 1282.4 1363.0 08.10.2020 12.10.1983

Таблица 3 — Динамика изменения значений ледовитости по сравнению с предыдущей неделей для морей Северной полярной области за 06.10-12.10.2025 г. по данным наблюдений SSMR-SSM/I-SMIS [13-17]

Регион	Северная полярная область	Сектор 45°W- 95°E (Гренландское - Карское моря)	Сектор 95°Е- 170°W (моря Лаптевых - Чукотское, Берингово, Охотское)	Сектор 170°W-45°W (море Бофорта и Канадская Арктика)	Северный Ледовитый океан	Моря СМП (моря Карское- Чукотское)
Разность	504.3	-60.0	146.5	417.8	374.4	53.7
тыс.кв.км/сут.	72.0	-8.6	20.9	59.7	53.5	7.7



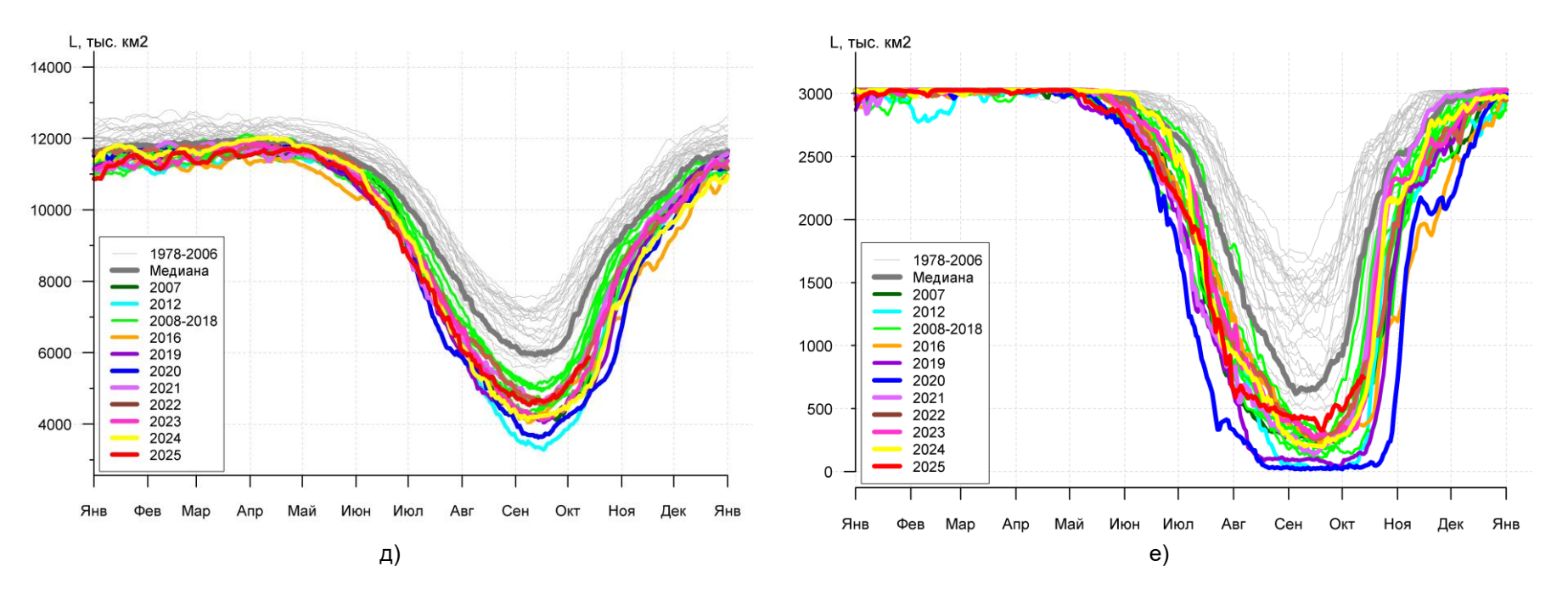


Рисунок 3а — Ежедневные оценки сезонного хода ледовитости для Северной Полярной Области и трех меридиональных секторов, СЛО и морей СМП за период 26.10.1978 — последний доступный срок по годам на основе расчетов по данным SSMR-SSM/I-SSMIS, алгоритмы NASATEAM: а) Северная полярная область, б) сектор 45°W-95°E (Гренландское — Карское моря), в) сектор 95°E-170°W (моря Лаптевых — Чукотское и Берингово, Охотское), г) сектор 170°W-45°W (море Бофорта и Канадская Арктика), д) Северный Ледовитый океан, е) Северный морской путь (Карское - Чукотское моря) [13-17].

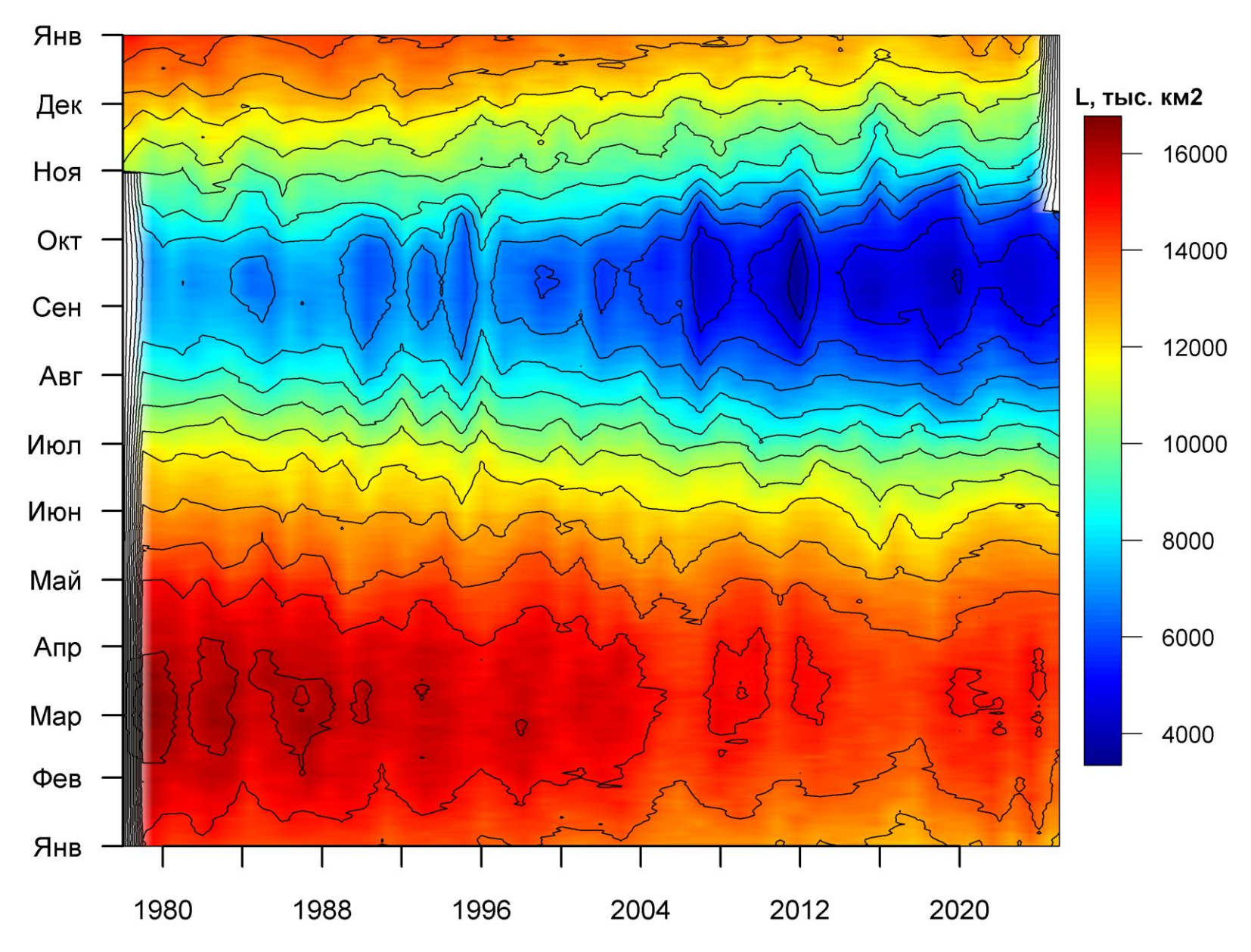


Рисунок 36 — Ежедневные оценки сезонных изменений ледовитости для Северной Полярной Области за период 26.10.1978 — последний доступный срок на основе расчетов по данным SSMR-SSM/I-SSMIS, алгоритм NASATEAM [13-17].

Южный океан

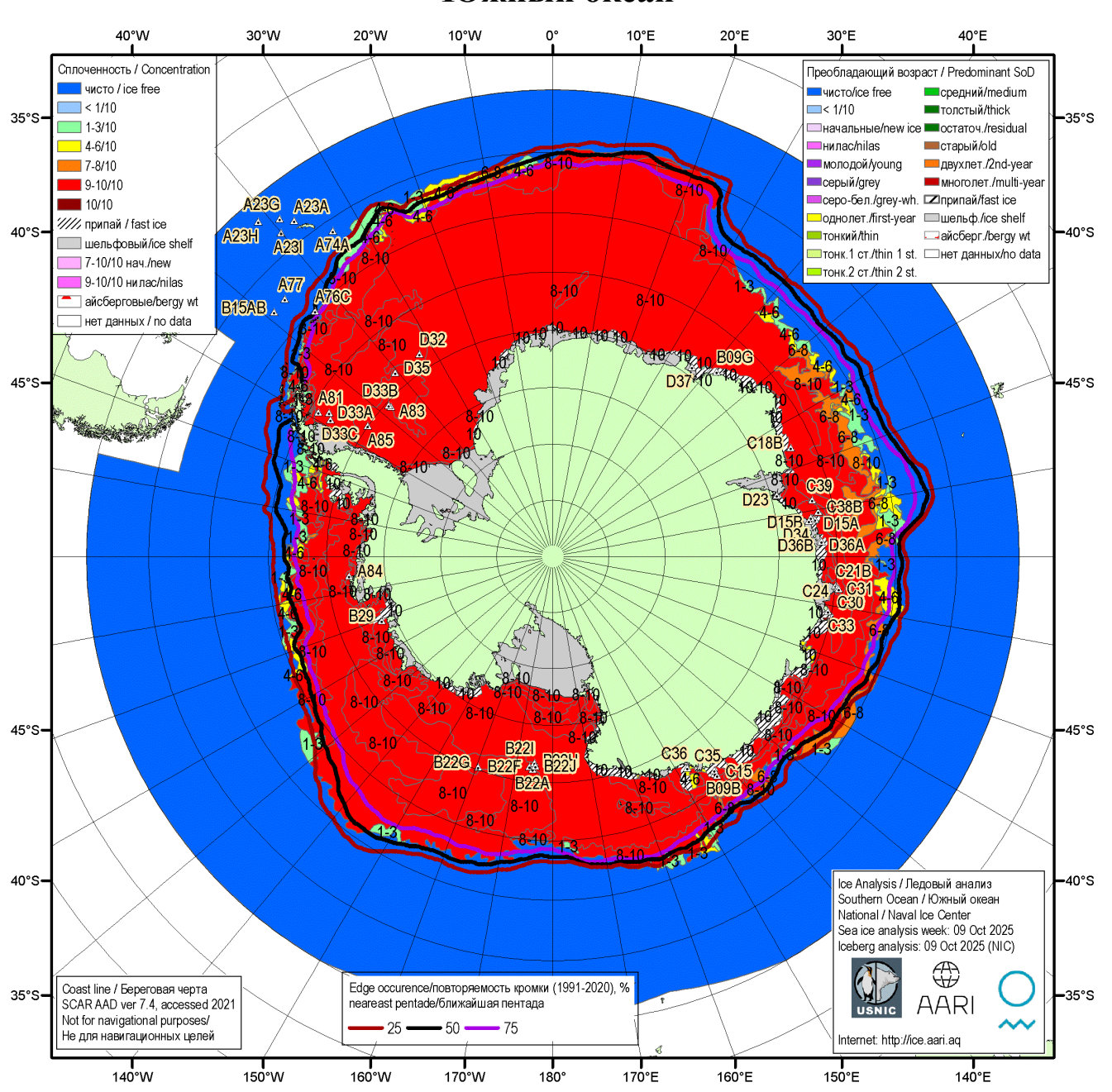


Рисунок 5а — Ледовая карта Южного океана (цветовая окраска по общей сплоченности) и расположение крупных айсбергов на основе ледового анализа за 09.10.2025 в рамках проекта совместного ледового картирования Южного океана ААНИИ, НЛЦ США и НМИ и повторяемость кромки за ближайшую пентаду за период 1991-2020 гг. по наблюдениям SSMR-SSM/I-SSMIS (алгоритм NASATEAM) [5, 10, 17, 21]

h

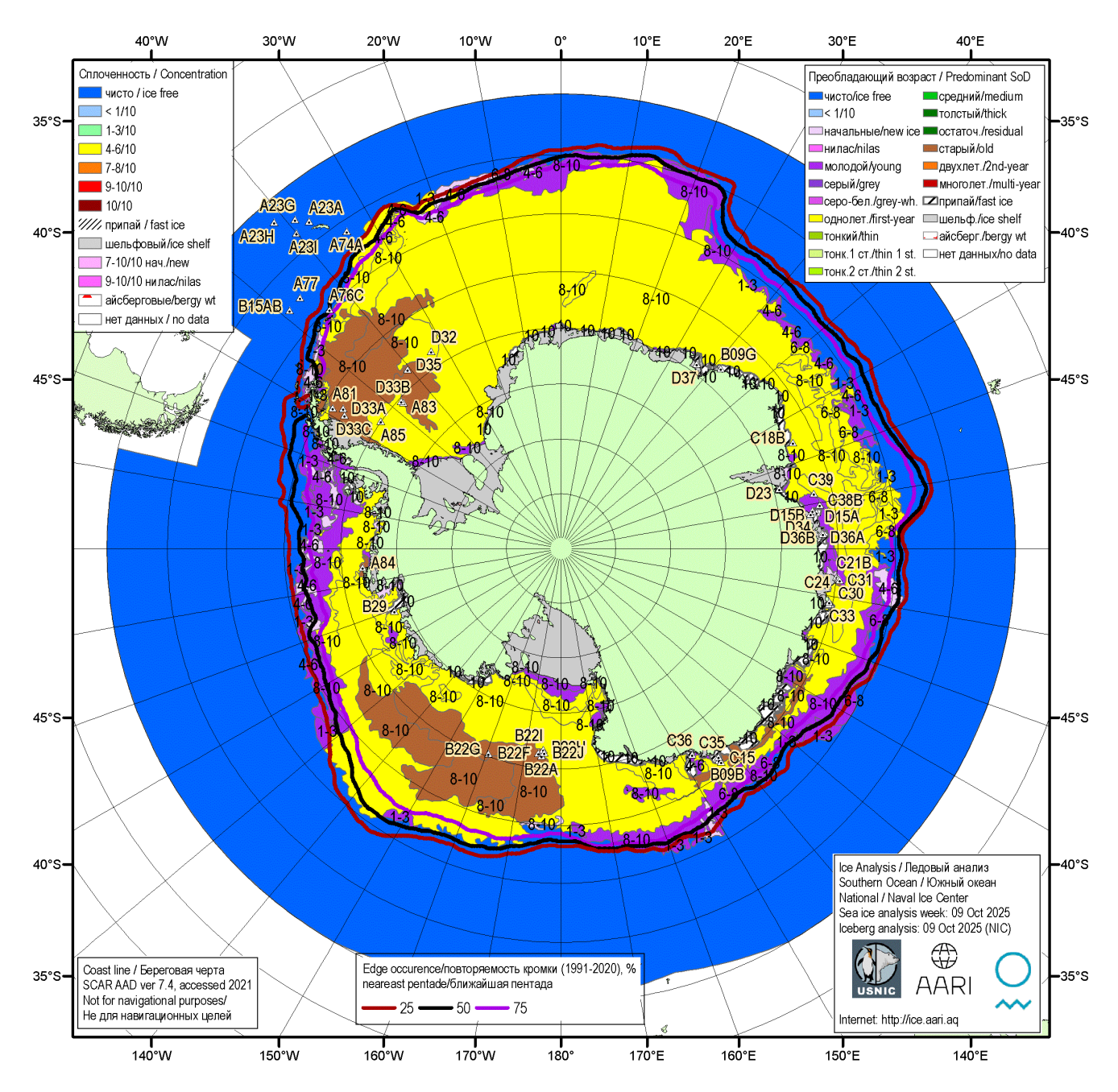


Рисунок 5б — Ледовая карта Южного океана (цветовая окраска по возрасту) и расположение крупных айсбергов на основе ледового анализа за 09.10.2025 в рамках проекта совместного ледового картирования Южного океана ААНИИ, НЛЦ США и НМИ и повторяемость кромки за ближайшую пентаду за период 1991-2020 гг. по наблюдениям SSMR-SSM/I-SSMIS (алгоритм NASATEAM) [5, 10, 17, 21].

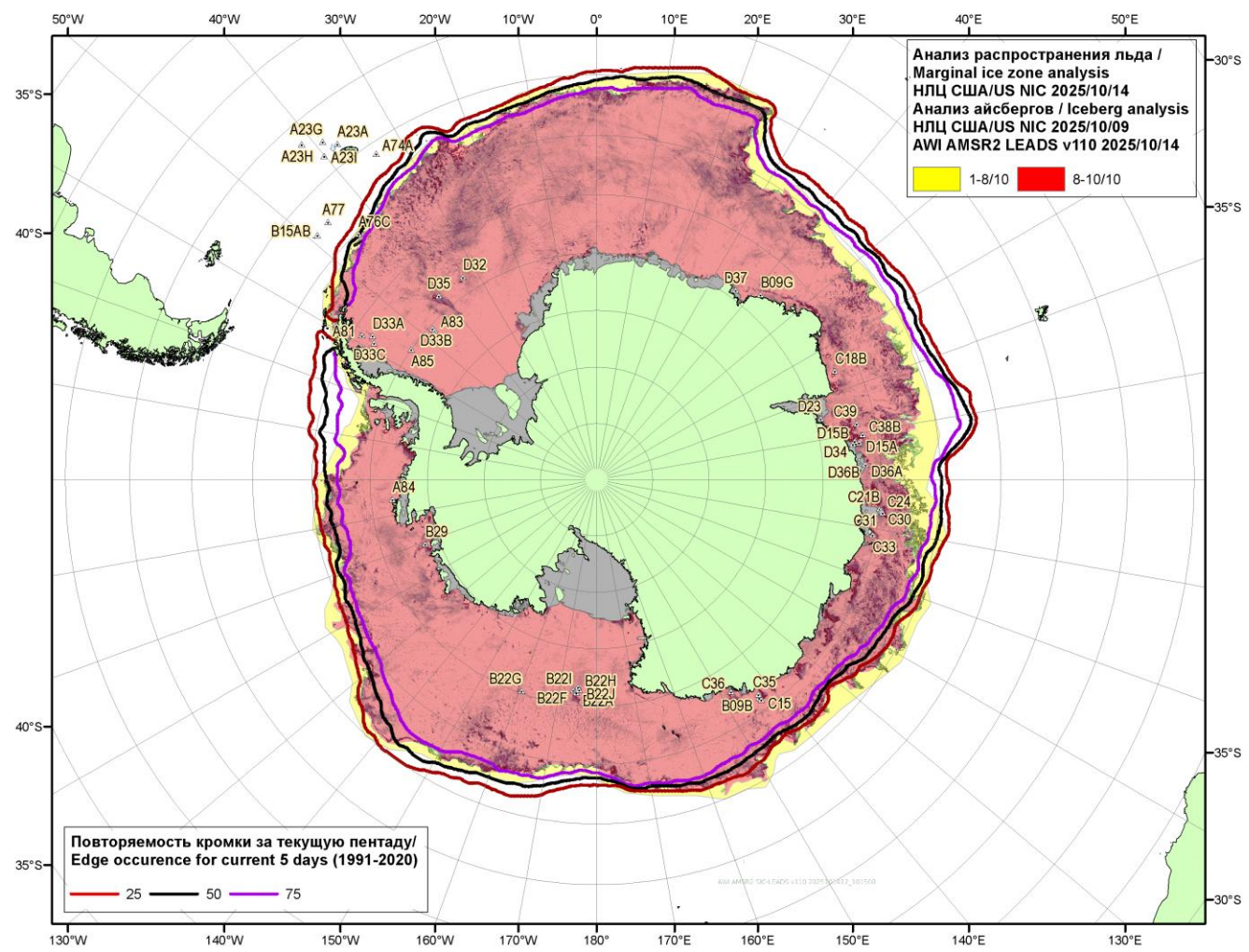


Рисунок 5в — Положение кромки льда и зон разреженных (<8/10) и сплоченных (≥8/10) льдов Южного океана за 14.10.2025 г. и расположение крупных айсбергов за 09.10.2025 на основе ледового анализа Национального Ледового Центра США, повторяемость кромки за ближайшую пентаду за период 1991-2020 гг. по наблюдениям SSMR-SSM/I-SSMIS (алгоритм NASATEAM), совмещенное с положением разрежений на основе данных ИСЗ AMSR2 за 14.10.2025 (AWI, v110) [10, 17, 24]

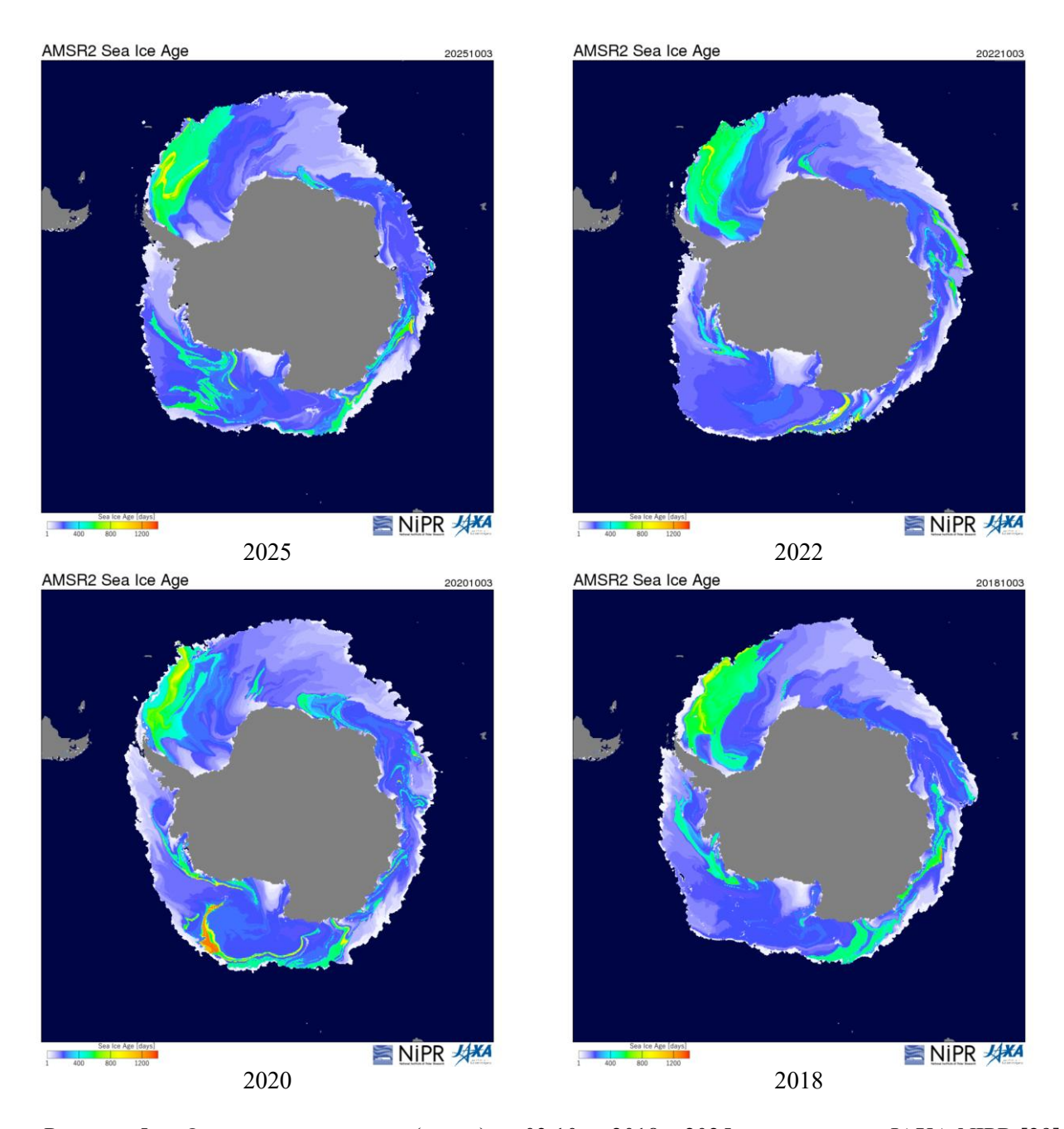


Рисунок 5г — Оценка возраста льда (сутки) на 03.10 за 2018-2025 гг. по данным JAXA-NIPR [29]

Рисунок 6 — Поле дрейфа морского льда Южного океана за последний доступный срок по данным AMSR2, источник JAXA [29]

NiPR

Таблица 4 — Линейные размеры и площадь крупных айсбергов Южного океана на основе анализа НЛЦ США за 28.08.2025 [11]

Имя	Длина км	Ширина км	Площадь кв.км	Имя	Длина км	Ширина км	Площадь кв.км
D15A	94.5	40.7	3071.0	D34	20.4	14.8	171.8
A23A	61.1	59.3	2371.4	B09G	22.2	13.0	160.9
B22A	53.7	46.3	1578.9	D23	13.0	11.1	123.3
A81	51.9	46.3	1378.5	D32	16.7	11.1	103.7
C36	42.6	29.6	866.3	B22I	16.7	9.3	100.8
A74A	55.6	33.3	834.3	C39	27.8	14.8	97.6
D15B	59.3	22.2	833.4	B15AB	18.5	7.4	92.5
D33A	63.0	18.5	642.3	B22G	16.7	9.3	84.6
B09B	50.0	18.5	505.5	A23F	16.7	7.4	78.8
D37	55.6	13.0	477.8	A23D	24.1	11.1	78.3
D35	51.9	11.1	347.5	C30	16.7	5.6	76.3
A76C	29.6	13.0	338.8	A23E	16.7	7.4	73.0
B22F	25.9	14.8	335.9	C31	16.7	5.6	72.1
A77	50.0	7.4	322.6	C33	20.4	7.4	64.1
D33B	38.9	22.2	304.6	A85	18.5	5.6	62.6
C21B	22.2	14.8	258.1	C24	20.4	5.6	62.3
B22H	35.2	13.0	229.4	C35	14.8	9.3	57.3
D33C	27.8	13.0	222.3	B29	20.4	9.3	56.9
C15	25.9	18.5	213.0	D36A	11.1	9.3	44.5
A84	22.2	11.1	206.0	C38B	14.8	13.0	38.9
C18B	37.0	7.4	195.8	D36B	16.7	3.7	27.2
A83	22.2	13.0	189.8				

Суммарная площадь == **17450 кв. км** (18.07.2025 – 18106, 05.06.2025 – 18240, 02.05.2025 – 18445, 27.03.2025 – 18830, 21.02.2025 – 19222, 23.01.2025 – 18636 кв. км)

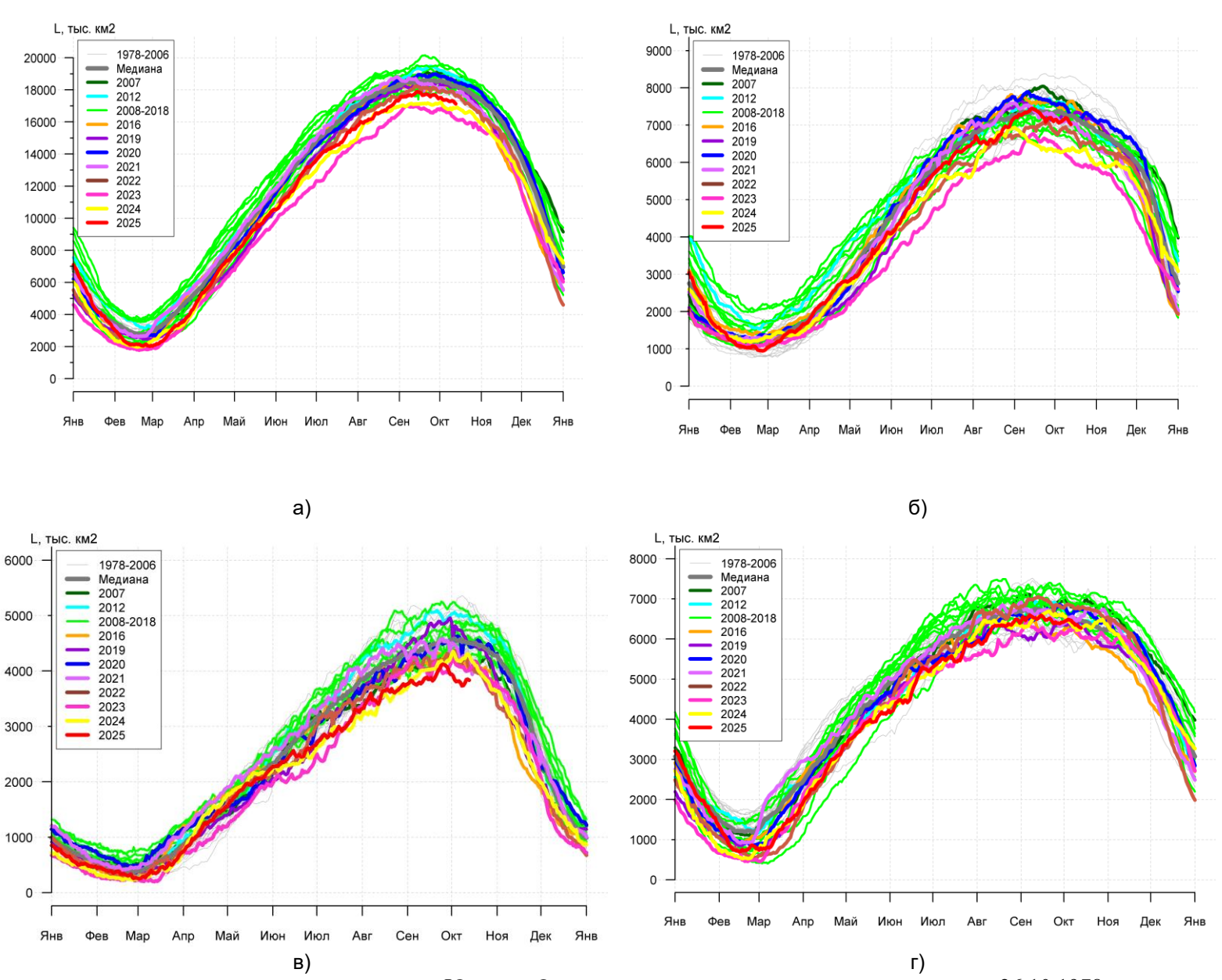


Рисунок 7а — Ежедневные оценки сезонного хода ледовитости Южного Океана и меридиональных секторов за период 26.10.1978 — последний доступный срок по годам на основе расчетов по данным SSMR-SSM/I-SSMIS, алгоритм NASATEAM: а) Южный Океан, б) Атлантический сектор (60°W-30°E, море Уэдделла), в) Индоокеанский сектор (30°E-150°E, моря Космонавтов, Содружества, Моусона), г) Тихоокеанский сектор (150°E-60°W, моря Росса, Беллинсгаузена) [13-17]

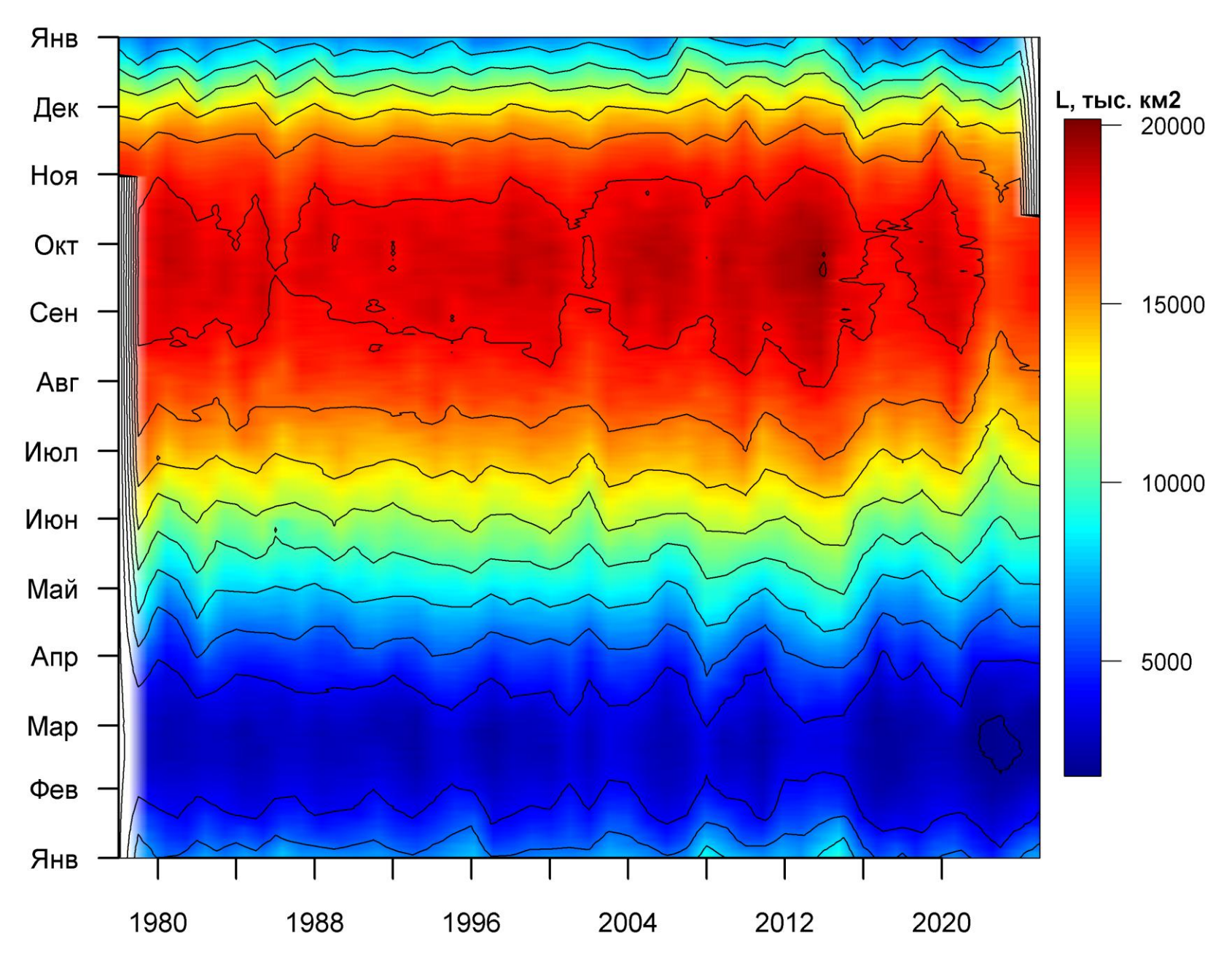


Рисунок 76 — Ежедневные оценки сезонных изменений ледовитости для Южного океана за период 26.10.1978 — последний доступный срок на основе расчетов по данным SSMR-SSM/I-SSMIS, алгоритм NASATEAM [13-17].

Таблица 5 — Медианные и экстремальные значения ледовитости для Южного океана и 3 меридиональных секторов за текущие 30 и 7-дневные интервалы и её аномалии от 2020-2024 гг. и интервалов 2015-2025 гг. и 1978-2025 гг. по данным наблюдений SSMR-SSM/I [13-17]

интервалов 20	15-2025 гг.	025 гг. и 1978-2025 гг. по данным наблюдений SSMR-SSM/I [13-17] Южный Океан									
	S, тыс.				Aı	номалии	, тыс н	км2/%			
Месяц	, км2	2020 г	202	1г	2022 г	2023 г)24 г	2015-20	25гг	1978-2025гг
10.00.10.10	47507.0	-1260.0		98.2	-435.0	869.8		519.0		35.9	-873.6
13.09-12.10	17567.3	-6.7		-3.3	-2.4	5.2	2	3.0		-1.9	-4.7
00.40.40	47000.0	-1336.1		33.2	-548.0	836.	7	477.7	-48	83.3	-997.8
06-12.10	17306.6	-7.2		-3.0	-3.1	5.		2.8		-2.7	-5.5
	•	Атлан	тичес	кий с	ектор (60°	W-30°E,	Е, море Уэдделла)				
Moogu	S, тыс.		Аномалии, тыс км2/%						•		
Месяц	км2	2020 г	202	1г	2022 г	2023 г	20)24 г	2015-20	25гг	1978-2025гг
12.00.12.10	7040.7	-407.7	-2	28.3	283.8	714.0	6	842.8	10	62.7	-96.8
13.09-12.10	7213.7	-5.3		-0.4	4.1	11.0	0	13.2		2.3	-1.3
00 40 40	7444.0	-327.2	4	14.4	252.3	923.	5	827.6	10	61.1	-101.4
06-12.10	7141.8	-4.4		0.6	3.7	14.9	9	13.1		2.3	-1.4
	Индоокеа	нский сект	op (30)°E-1	50°Е, моря	Космон	автов	, Содр	ужества,	Moyo	она)
Moogu	S, тыс.		-		Aı	номалии	, тыс н	км2/%			
Месяц	км2	2020 г	202	1г	2022 г	2023 г	20)24 г	2015-20	25гг	1978-2025гг
13.09-12.10	3909.7	-583.5	-48	31.7	-297.9	-138.	7 -	251.0	-4	12.2	-628.2
13.09-12.10	3909.7	-13.0	-1	11.0	-7.1	-3.4	4	-6.0		-9.5	-13.8
06 12 10	2702.6	-701.2	-44	14.9	-384.5	-253.	6 -	439.4	-5	27.2	-762.5
06-12.10	3793.6	-15.6	-1	10.5	-9.2	-6.3	3	-10.4		12.2	-16.7
	Тих	хоокеански	ий сек	тор (150°E-60°\	V, моря	Pocca	, Белл	инсгаузен	на)	
Месяц	S, тыс.	Аномалии, тыс км2/%									
МЕСЯЦ	км2	2020 г	202	1г	2022 г	2023 г	20)24 г	2015-20	25гг	1978-2025гг
13.09-12.10	6443.9	-268.8	3-	38.3	-420.9	294.0	0	-72.7		86.4	-148.6
13.09-12.10	0443.9	-4.0		-1.4	-6.1	4.8	8	-1.1		-1.3	-2.3
06-12.10	6371.2	-307.7	-13	32.7	-415.8	166.9	9	89.5	-1	17.3	-134.0
00-12.10	037 1.2	-4.6		-2.0	-6.1	2.	7	1.4		-1.8	-2.1
					Южный	Океан					
Месяц		иальное зн	іач.	Ман	симально		Ср	еднее	знач.		Медиана
06-12.10		16247.2			19527.6			18304	1		18314.9
00-12.10	12	2.10.2023			06.10.201						10014.9
Γ					ектор (60°						
Месяц	Миник	иальное зн 6128.4	іач.	Ман	симально	е знач.	Ср	еднее	знач.		Медиана
06-12.10	06 17 10				8325.5	_		7243	2		7268.4
12.10.2023 12.10.1980 72 Индоокеанский сектор (30°E-150°E, моря Космонавтов, Со											
Месяц	Миник	иальное зн	іач.	Максимальное знач.		Среднее знач.			Медиана		
06-12.10	08	3731.4 3.10.2025		5361.3 08.10.1993		4556.1			4523.6		
			ий сек	тор (150°E-60°\		Pocca	, Белл	инсгаузен	на)	
								,	, , , ,		

Таблица 6 — Динамика изменения значений ледовитости по сравнению с предыдущей неделей для морей Южного океана за 06.10 - 12.10.2025 по данным наблюдений SSMR-SSM/I-SSMIS [13-17]

Максимальное знач.

7131.0

08.10.1996

Месяц

06-12.10

Минимальное знач.

5651.0

08.10.1987

Регион	Южный Океан	Атлантический	Индоокеанский	Тихоокеанский
		сектор	сектор	сектор
Разность	-150.0	28.4	-101.9	-76.6
тыс.кв.км/сут.	-21.4	4.1	-14.6	-10.9

Медиана

6472.2

Среднее знач.

6505.2

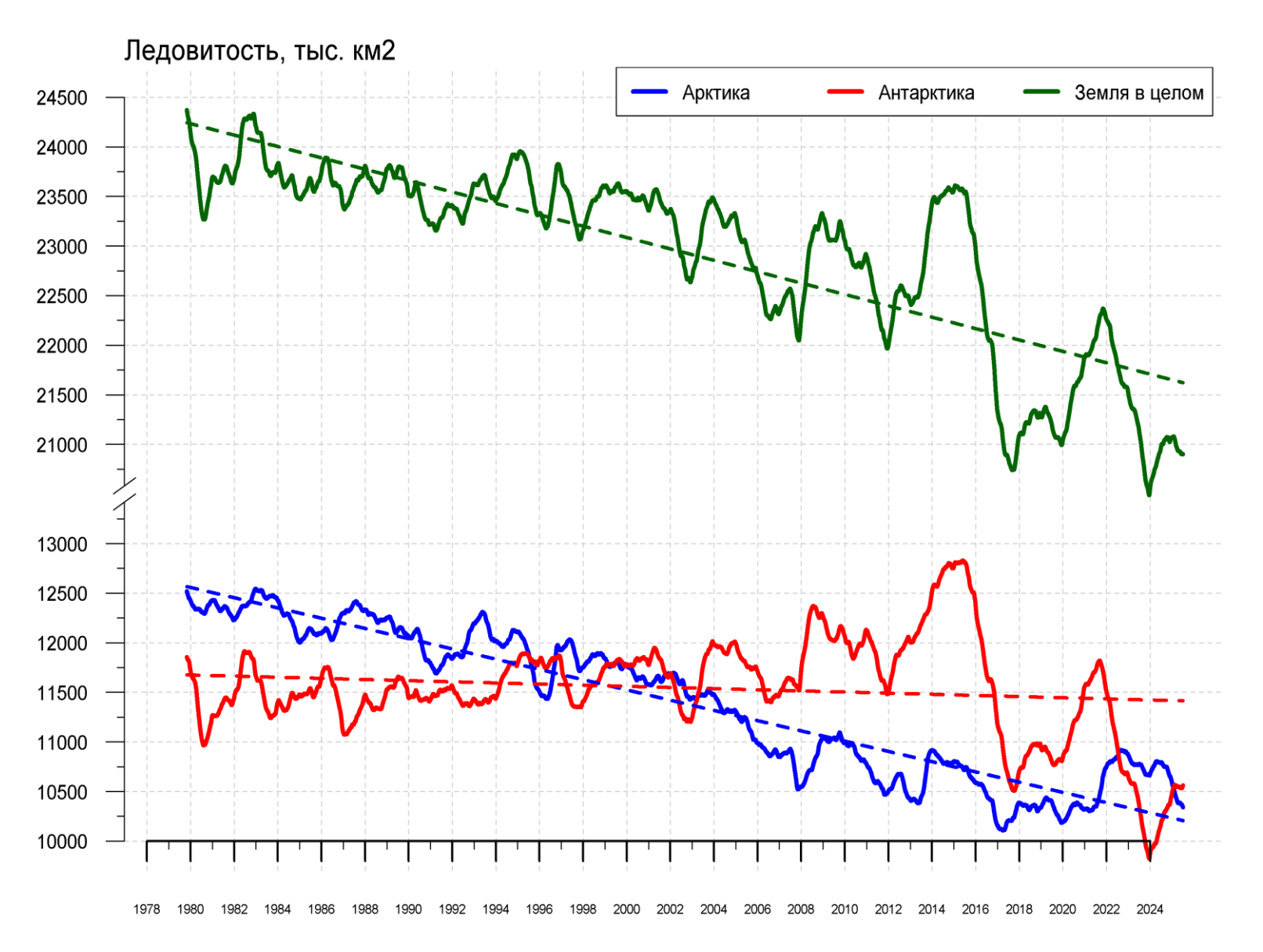


Рисунок 9 — Ежедневные сглаженные окном 365 суток значения ледовитости (площади распространения морского льда) Арктики, Антарктики и Земли в целом с 26.10.1978 по последний доступный срок на основе SSMR-SSM/I-SSMIS [13-17]

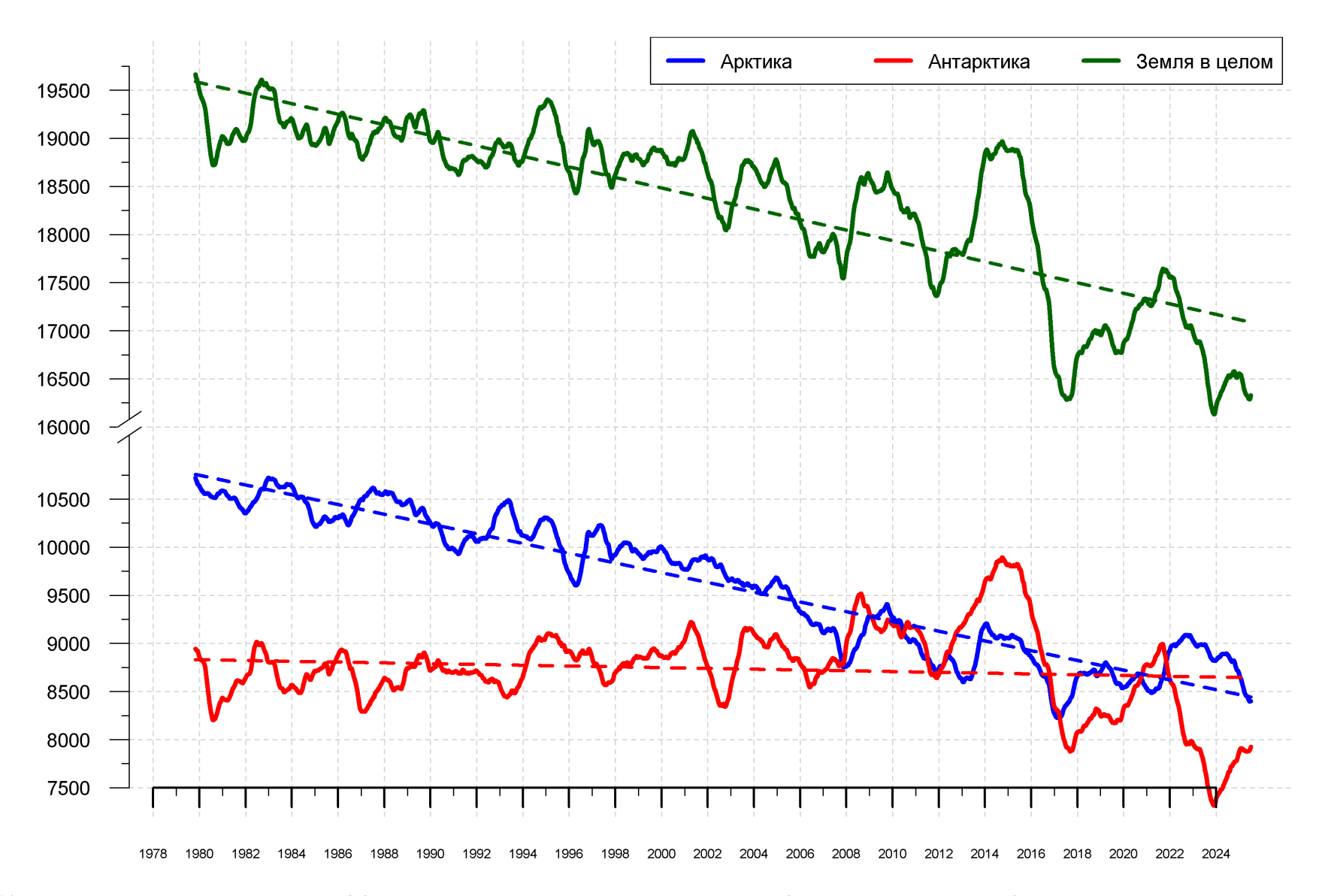


Рисунок 10 — Ежедневные сглаженные окном 365 суток значения приведенной ледовитости (площади морского льда) Арктики, Антарктики и Земли в целом с 25.10.1978 по последний доступный срок на основе SSMR-SSM/I-SSMIS [13-17]

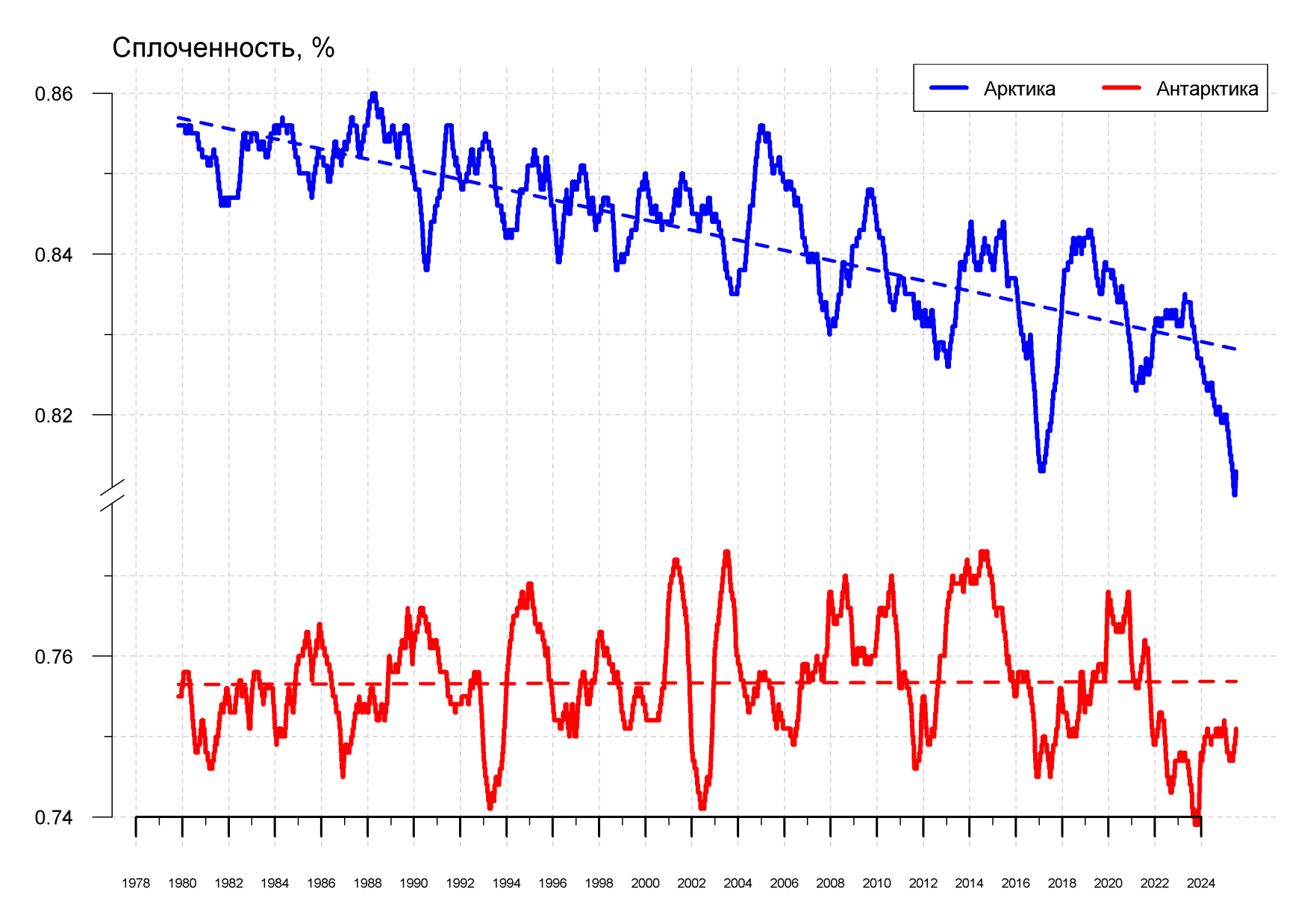


Рисунок 11 — Ежедневные сглаженные окном 365 суток значения средней общей сплоченности Арктики и Антарктики с 07.11.1978 по последний доступный срок на основе SSMR-SSM/I-SSMIS [13-17]

Приложение 1 — Статистические значения ледовитостей по отдельным акваториям Северной Полярной Области и Южного океана Таблица 8 — Средние, аномалии среднего и экстремальные значения ледовитостей для Северной и Южной полярных областей и её отдельных акваторий за текущие 7-дневный (неделя) и 30-дневный промежутки времени по данным наблюдений SSMR-SSM/I-SSMIS, алгоритм NASATEAM за период 1978-2024 гг. 06-12.10

						- 10 /		•	1			
	S, тыс.			Анома	алии, тыс	1978-2025гг						
Регион	км2	2007 г	2012 г	2022 г	2023 г	2024 г	2015- 2025гг	1978- 2025гг	Минимум дата	Максимум дата	Среднее	Медиана
Сев. полярная область 6032.5	876.5	1474.0	69.7	425.9	822.2	459.1	-1061.5	4243.9	9382.0			
	6032.5	17.0	32.3	1.2	7.6	15.8	8.2	-15.0	06.10.2012	12.10.1982	7094.0	7291.9
Сектор 45°W-		-653.5	-366.7	-332.1	-532.4	-282.4	-292.1	-709.2	925.2	2497.1		1603.6
95°E	967.9	-40.3	-27.5	-25.5	-35.5	-22.6	-23.2	-42.3	09.10.2025	12.10.1982	1677.0	
Гренландское		-279.0	-217.1	-112.3	-217.1	-83.4	-95.7	-182.9	178.4	594.0		
море	210.7	-57.0	-50.7	-34.8	-50.7	-28.4	-31.2	-46.5	06.10.2017	12.10.1981	393.6	398.3
•	0.0	-25.1	-6.1	-11.8	-20.9	-6.3	-7.3	-83.6	0.0	378.6	07.0	40.5
Баренцево море	3.6	-87.5	-63.0	-76.6	-85.3	-63.6	-67.0	-95.9	06.10.2025	12.10.1982	87.2	40.5
V	44.0	-59.6	1.0	-10.0	-25.4	-1.9	-18.8	-220.3	7.6	718.2	005.4	1110
Карское море	14.8	-80.1	7.5	-40.2	-63.2	-11.2	-56.0	-93.7	06.10.1995	12.10.1998	235.1	144.9
Сектор 95°Е-	2076 F	1098.9	859.2	111.5	381.1	230.5	385.8	-341.1	881.2	3439.3	2417.6	2488.5
170°W	2076.5	112.4	70.6	5.7	22.5	12.5	22.8	-14.1	10.10.2020	08.10.1983	2417.6	
Моро Попторых	182.0	-146.7	123.7	-109.6	-84.9	-9.0	9.3	-210.3	7.0	674.3	392.3	397.3
Море Лаптевых		-44.6	212.1	-37.6	-31.8	-4.7	5.4	-53.6	07.10.2018	06.10.1992	392.3	
Восточно-	376.6	369.2	359.1	92.1	318.0	234.8	193.6	-140.5	3.1	915.1	517.1	487.0
Сибирское море		4970.0	2052.2	32.4	542.9	165.5	105.8	-27.2	06.10.2007	06.10.1983		
Чукотское море	112.9	107.3	98.9	99.9	86.2	23.8	69.3	-25.0	0.6	435.6	137.9	82.0
чукотское море	112.9	1926.7	705.7	765.7	323.1	26.7	159.0	-18.1	06.10.2005	08.10.1983	137.9	
Берингово море	19.1	4.3	11.0	6.5	7.2	1.7	-1.7	-2.6	2.4	92.1	21.7	19.4
·	19.1	29.1	135.1	51.2	60.9	9.6	-8.0	-11.8	06.10.2011	12.10.1993		
Сектор 170°W-	2988.1	431.1	981.5	290.2	577.1	874.1	365.5	-11.3	1858.3	3806.4	2999.3	3026.6
45°W	2900.1	16.9	48.9	10.8	23.9	41.4	13.9	-0.4	06.10.2012	12.10.1996	2999.3	3020.0
Море Бофорта	219.7	-20.8	196.9	47.7	134.0	216.6	63.5	-50.3	1.3	486.6	270.0	251.8
тиоре вофорта	210.7	-8.7	862.3	27.7	156.4	6954.1	40.7	-18.6	06.10.2024	06.10.1996	270.0	201.0
Гудзонов залив	13.6	-1.4	1.7	-4.1	-9.1	-11.3	-6.0	-10.2	6.6	76.3	23.8	19.6
т удоснов салив	10.0	-9.4	14.0	-23.1	-40.0	-45.4	-30.7	-43.0	06.10.2002	09.10.1984	20.0	19.0
Море Лабрадор	0.0	-14.6	0.0	0.0	0.0	0.0	0.0	-8.5	0.0	43.8	8.5	7.3
гро лаорадор		-100.0	-	-	-	-	-100.0	-100.0	06.10.2011	10.10.1993	0.0	7.5
Дейвисов пролив	12.8	4.0	2.6	5.9	-0.9	0.0	1.3	-2.6	3.0	55.5	15.3	11.5
•		45.2	25.1	85.7	-6.3	0.2	11.5	-16.8	11.10.1991	12.10.1983	. 3.0	
Канадский	455.6	-21.5	128.3	23.6	154.5	223.6	-21.2	-143.3	215.5	789.2	598.8	648.1
архипелаг	400.0	-4.5	39.2	5.5	51.3	96.4	-4.4	-23.9	12.10.2024	10.10.1986	590.0	040.1

13.09-12.10

		Аномалии, тыс км2/%						10	1978-2025гг				
Регион	S, тыс. км2			Andivia	пин, тыст	NIVIZ/ /0	2015-	1978-	Минимум Максимум				
Регион		2007 г	2012 г	2022 г	2023 г	2024 г	2015- 2025гг	1976- 2025гг	_		Среднее	Медиана	
0		700.4	1460.6	1.0	496.2	583.1		-982.2	дата		дата		
Сев. полярная	5359.3	790.4					370.9		3346.2	9382.0	6341.5	6309.6	
область		17.3	37.5	0.0	10.2	12.2	7.4	-15.5	17.09.2012	12.10.1982		<u> </u>	
Сектор 45°W-	994.1	-467.1	-146.6	-269.0	-388.9	-94.3	-165.7	-502.6	789.7	2497.1	1496.7	1443.2	
95°E		-32.0	-12.9	-21.3	-28.1	-8.7	-14.3	-33.6	22.09.2013	12.10.1982			
Гренландское	183.1	-264.2	-179.4	-119.9	-165.0	-21.9	-66.8	-150.5	75.3	594.0	333.7	343.0	
море		-59.1	-49.5	-39.6	-47.4	-10.7	-26.7	-45.1	18.09.2021	12.10.1981			
Баренцево море	3.2	-9.5	-1.2	-3.5	-10.5	-5.1	-3.1	-57.4	0.0	378.6	60.6	27.3	
варопцово шоро	0.2	-74.8	-27.3	-52.5	-76.5	-61.2	-48.8	-94.7	13.09.2018	12.10.1982		21.0	
Карское море	15.1	-16.9	3.2	-7.1	-23.6	-3.7	-10.0	-153.7	2.5	718.2	168.8	104.1	
	10.1	-52.7	26.9	-31.8	-61.0	-19.6	-39.7	-91.0	01.10.1995	12.10.1998	100.0	104.1	
Сектор 95°Е-	1888.1	1057.9	909.7	273.7	502.3	254.0	427.4	-195.6	693.2	3439.3	2083.7	2019.0	
170°W	1000.1	127.4	93.0	17.0	36.2	15.5	29.3	-9.4	26.09.2007	08.10.1983			
Моро Попторым	160.7	-87.9	136.5	-28.2	-84.1	24.2	36.1	-114.8	6.4	674.3	275.4	242.3	
Море Лаптевых		-35.4	564.7	-14.9	-34.4	17.7	29.0	-41.7	01.10.2020	23.09.1996			
Восточно-	050.0	251.3	249.1	80.0	231.2	194.6	144.9	-138.7	1.9	915.1		295.9	
Сибирское море	256.6	4815.0	3339.2	45.3	910.4	314.1	129.8	-35.1	02.10.2007	06.10.1983			
	75.8	67.5	70.7	70.7	67.9	0.0	46.7	-34.7	0.0	435.6	110.5	63.4	
Чукотское море		809.1	1386.1	1384.1	863.0	0.0	160.3	-31.4	25.09.2003	08.10.1983			
_	8.7	-1.1	5.5	1.1	2.7	-1.6	-0.5	-2.9	0.0	92.1	11.6	7.0	
Берингово море		-11.4	169.1	14.3	46.1	-15.2	-5.7	-24.8	13.09.2003	12.10.1993			
Сектор 170°W-		199.6	697.6	-3.6	382.9	423.4	109.2	-284.0	1617.8	3806.4		2820.3	
45°W	2477.1	8.8	39.2	-0.1	18.3	20.6	4.6	-10.3	17.09.2012	12.10.1996	2761.0		
_		-14.5	124.9	0.8	92.9	136.7	20.7	-88.1	0.0	486.6			
Море Бофорта	137.8	-9.5	968.1	0.6	206.6	12939.7	17.7	-39.0	13.09.2024	29.09.1996	225.9	213.7	
		-8.4	0.6	-1.9	-3.3	-5.4	-1.4	-11.0	1.2	156.7			
Гудзонов залив	11.5	-42.2	5.7	-13.9	-22.0	-32.0	-10.8	-48.8	18.09.2019	05.10.1990	22.5	18.7	
		-6.4	0.1	0.0	0.0	0.0	0.0	-5.4	0.0	43.8			
Море Лабрадор	0.1	-98.5	0.1	-3.3	26.1	-14.7	51.2	-98.2	13.09.2001	10.10.1993	5.5	2.8	
, , , , , ,		0.8	-2.1	-3.3 2.4	20.1		2.0	-96.2 -2.7					
Дейвисов пролив	13.9					0.1			3.0	88.3	16.6	13.3	
		5.8	-13.1	20.5	25.7	1.0	17.2	-16.3	11.10.1991	16.09.1983			
Канадский	356.5	-14.8	110.3	-5.2	81.5	105.8	-57.4	-150.2	182.4	789.2	506.7	509.5	
архипелаг		-4.0	44.8	-1.4	29.6	42.2	-13.9	-29.6	01.10.2012	10.10.1986		555.5	

06-12.10

				Λιιο. 10	TIME TO S	1978-2025гг						
Регион	S, тыс.		Аномалии, тыс км2/%									I
	км2	2007 г	2012 г	2022 г	2023 г	2024 г	2015-	1978-	Минимум	Максимум	Среднее	Медиана
	INVIE						2025гг	2025гг	дата	дата	Ороднос	ттодиана
Южный Океан	17306.6	-1308.6	-1666.5	-548.0	836.7	477.7	-483.3	-997.8	16247.2	19527.6	18304.4	18314.9
Южный Океан	17300.0	-7.0	-8.8	-3.1	5.1	2.8	-2.7	-5.5	12.10.2023	06.10.2014	10304.4	
Атлантический	7141.8	-526.4	-426.3	252.3	923.5	827.6	161.1	-101.4	6128.4	8325.5	7042.2	7268.4
сектор	7 14 1.0	-6.9	-5.6	3.7	14.9	13.1	2.3	-1.4	12.10.2023	12.10.1980	7243.2	7200.4
Западная часть	2226.9	-112.1	-41.4	141.4	3.7	-135.4	-8.6	-100.2	1974.0	2971.4	2327.0	2242.2
моря Уэдделла	2220.9	-4.8	-1.8	6.8	0.2	-5.7	-0.4	-4.3	09.10.1989	06.10.1980	2327.0	2312.3
Восточная часть	4045.0	-414.3	-385.0	111.0	919.8	963.0	169.6	-1.2	3903.4	5692.4	4046.0	4954.3
моря Уэдделла	4915.0	-7.8	-7.3	2.3	23.0	24.4	3.6	0.0	12.10.2023	06.10.2005	5 4916.2	
Индоокеанский	2702.6	-340.9	-1202.9	-384.5	-253.6	-439.4	-527.2	-762.5	3731.4	5361.3	4556.1	4523.6
сектор	3793.6	-8.2	-24.1	-9.2	-6.3	-10.4	-12.2	-16.7	08.10.2025	08.10.1993		
Море	000.0	-120.1	-333.1	-358.8	-277.7	-23.6	-273.9	-329.8	874.9	1635.7	1239.4	1236.6
Космонавтов	909.6	-11.7	-26.8	-28.3	-23.4	-2.5	-23.1	-26.6	08.10.1996	08.10.2004		
Море	1010.2	-446.1	-570.8	-402.6	-403.7	-414.3	-384.8	-497.5	1000.0	1840.5	4507.0	1527.4
Содружества	1040.3	-30.0	-35.4	-27.9	-28.0	-28.5	-27.0	-32.4	09.10.2025	10.10.2006	1537.8	
Mana Mayaaya	1010.6	225.2	-299.1	376.9	427.7	-1.6	131.5	64.8	1057.1	2300.7	4770.0	1796.4
Море Моусона	1843.6	13.9	-14.0	25.7	30.2	-0.1	7.7	3.6	12.10.1989	08.10.1993	1778.8	
Тихоокеанский	6074.0	-441.3	-37.2	-415.8	166.9	89.5	-117.3	-134.0	5651.0	7131.0	6505.0	6470.0
сектор	6371.2	-6.5	-0.6	-6.1	2.7	1.4	-1.8	-2.1	08.10.1987	08.10.1996	6505.2	6472.2
Mana Dagga	5666 O	-563.5	55.9	-588.4	701.8	820.2	199.3	168.2	4481.0	6331.5	E407.0	E406.0
Mope Pocca	5666.0	-9.0	1.0	-9.4	14.1	16.9	3.6	3.1	08.10.1987	06.10.2022	5497.8	5496.9
Море	705.2	122.2	-93.1	172.6	-534.9	-730.7	-316.5	-302.1	500.9	1534.0	1007.4	4000 F
Беллинсгаузена	705.3	21.0	-11.7	32.4	-43.1	-50.9	-31.0	-30.0	06.10.2022	06.10.1986	1007.4	1026.5

13.09-12.10

				۸		1079 2025						
Регион	S, тыс. км2	Аномалии, тыс км2/%							1978-2025гг			
		2007 г	2012 г	2022 г	2023 г	2024 г	2015-	1978-	Минимум	Максимум	Среднее	Медиана
	KIVIZ		20121				2025гг	2025гг	дата	дата	Среднее	тиедиана
Южный Океан	17567.3	-1325.3	-1671.2	-435.0	869.8	519.0	-335.9	-873.6	16247.2	20162.6	18441.0	18484.5
Южный Океан	17307.3	-7.0	-8.7	-2.4	5.2	3.0	-1.9	-4.7	12.10.2023	20.09.2014		
Атлантический	7213.7	-637.2	-345.8	283.8	714.6	842.8	162.7	-96.8	6128.4	8384.7	7310.5	7309.8
сектор	1213.1	-8.1	-4.6	4.1	11.0	13.2	2.3	-1.3	12.10.2023	24.09.1980	7310.5	7309.0
Западная часть	2282.0	-219.7	-95.4	139.8	-98.7	-2.0	-3.6	-109.7	1974.0	3235.0	2391.7	2376.4
моря Уэдделла	2202.0	-8.8	-4.0	6.5	-4.1	-0.1	-0.2	-4.6	09.10.1989	24.09.1980	2391.7	23/0.4
Восточная часть	4931.7	-417.4	-250.4	144.0	813.3	844.7	166.3	12.9	3903.4	5739.9	4918.8	4945.9
моря Уэдделла	4931.7	-7.8	-4.8	3.0	19.7	20.7	3.5	0.3	12.10.2023	04.10.1992	4910.0	
Индоокеанский	3909.7	-270.4	-1103.1	-297.9	-138.7	-251.0	-412.2	-628.2	3731.4	5361.3	4537.9	4503.8
сектор	3909.7	-6.5	-22.0	-7.1	-3.4	-6.0	-9.5	-13.8	08.10.2025	08.10.1993	4037.9	
Mope	056.0	-70.4	-268.1	-270.6	-127.0	68.7	-209.5	-264.3	829.3	1635.7	1221.1	1220.4
Космонавтов	956.8	-6.9	-21.9	-22.0	-11.7	7.7	-18.0	-21.6	21.09.2024	08.10.2004	1221.1	
Mope	1159.5	-402.1	-479.7	-230.9	-325.3	-326.2	-263.9	-375.5	1000.0	1934.1	4525.0	1539.5
Содружества	1139.5	-25.7	-29.3	-16.6	-21.9	-22.0	-18.5	-24.5	09.10.2025	25.09.2014	1535.0	
Mana Mayaaya	1793.3	202.1	-355.4	203.6	313.6	6.5	61.2	11.6	1057.1	2435.1	1781.8	1701 E
Море Моусона	1793.3	12.7	-16.5	12.8	21.2	0.4	3.5	0.6	12.10.1989	13.09.1982	1/01.0	1781.5
Тихоокеанский	6443.9	-417.7	-222.3	-420.9	294.0	-72.7	-86.4	-148.6	5651.0	7406.7	6500.6	6570.0
сектор	0443.9	-6.1	-3.3	-6.1	4.8	-1.1	-1.3	-2.3	08.10.1987	21.09.2013	6592.6	6579.2
Mana Dagga	E671 0	-587.6	-94.2	-552.5	760.8	572.5	228.3	150.4	4481.0	6457.4	EE01 E	EE10.0
Mope Pocca	5671.9	-9.4	-1.6	-8.9	15.5	11.2	4.2	2.7	08.10.1987	02.10.2007	5521.5	5510.9
Море	772.0	169.9	-128.1	131.6	-466.9	-645.3	-314.8	-299.1	494.0	1821.3	1071.1	1006.6
Беллинсгаузена	772.0	28.2	-14.2	20.5	-37.7	-45.5	-29.0	-27.9	29.09.2007	20.09.2015	1071.1	1086.6

Таблица 10 — Динамика изменения значений ледовитости по сравнению с предыдущей неделей для морей Северной полярной области и Южного океана за текущий 7-дневный (неделя) промежуток времени по данным наблюдений SSMIS

времени по д	анным наблюдений S	SMIS 06-12.1	0	
Регион	Сев. полярная область	Сектор 45°W-95°E	Гренландское море	Баренцево море
Разность	504.3	-60.0	12.1	0.6
тыс.кв.км/ сут.	72.0	-8.6	1.7	0.1
-		06-12.1		
Регион	Карское море	Сектор 95°E-170°W	Море Лаптевых	Восточно-Сибирское море
Разность	3.6 0.5	146.5 20.9	37.3 5.3	91.4
тыс.кв.км/ сут.	0.5	20.9	5.3	13.1
		06-12.1	0	
Регион	Чукотское море	Берингово море	Сектор 170°W-45°W	Море Бофорта
Разность	25.8	2.3	417.8	88.0
тыс.кв.км/	3.7	0.3	59.7	12.6
сут.		06-12.1	<u> </u> 	
Регион	Гудзонов залив	Море Лабрадор	Дейвисов пролив	Канадский архипелаг
Разность	-2.3	0.0	-0.9	119.5
тыс.кв.км/	-0.3	0.0	-0.1	17.1
сут.	0.0	0.0	0.1	
, ,		06-12.1	0	l
Регион	Южный Океан	Атлантический сектор	Западная часть моря Уэдделла	Восточная часть моря Уэдделла
Разность	-150.0	28.4	-10.3	38.7
тыс.кв.км/ сут.	-21.4	4.1	-1.5	5.5
		06-12.1	0	
Регион	Индоокеанский сектор	Море Космонавтов	Море Содружества	Море Моусона
Разность	-101.9	-95.8	-92.6	86.5
тыс.кв.км/	-14.6	-13.7	-13.2	12.4
сут.		06-12.1	<u> </u>	
Регион	Тихоокеанский	Mope Pocca	Mope	
	сектор	·	Беллинсгаузена	
Разность	-76.6	-79.9	3.4	
тыс.кв.км/	-10.9	-11.4	0.5	

сут.

Характеристика исходного материала и методика расчетов

Для иллюстрации ледовых условий Арктического региона представлены совмещенные региональные карты ААНИИ [4, 6], Канадской ледовой службы – КЛС [12], Национального ледового центра США – НЛЦ [10], Ледовой службы отделения Аляска НОАА [23] и НИЦ Планета [9]. Совмещение карт выполнено путем перекрытия слоев отдельных ледовых служб в зависимости от времени ледового анализа. Карты ААНИИ характеризуют ледовые условия морей Гренландского...Бофорта, карты НИЦ Планета – Азовского, Каспийского, Берингова, Охотского, Японского, карты НЛЦ – Северных частей Тихого и Атлантического океанов и Арктического бассейна, вод Гренландии, Ледовой службы отделения Аляска НОАА – Берингово, Чукотское моря, КЛС - морей Бофорта, Канадского архипелага, Баффина, Девисова пролива, Лабрадор, Св. Лаврентия. Для ледовых условий и распределения айсбергов Южного океана использованы данные проекта по интегрированному ледовому анализу Южного океана – циркумполярные карты ААНИИ [5, 7], НЛЦ [10, 11] и карты акватории Антарктического полуострова Норвежского метеорологического института (НМИ) [21]. Для построения совмещенных карт используется архив данных в обменном формате ВМО СИГРИД-3 [18] Мирового центра данных по морскому льду (МЦД МЛ) – проекта ВМО «Глобальный Банк Цифровых Данных по Морскому Льду». В пределах отдельного срока выборка карт из архива проводится по критериям близости карт к сроку выпуска карты ААНИИ с максимальным интервалом времени между картами до 7 суток (день недели выпуска карт ААНИИ – вторник, Ледовой службы отделения Аляска НОАА – ежедневно, НИЦ Планета – понедельник-четверг, КЛС – понедельник, НЛЦ – четверг/пятница для морского льда и четверг/пятница – для крупных айсбергов Южного океана, НМИ понедельник).

Для иллюстрации полей толщин льда СЛО использованы ежедневные данные по распределению средневзвешенной толщины льда численной модели HYCOM-CICE Датского метеорологического института (ДМИ) [20]. Численная модель HYCOM-CICE имеет разрешение 10х10 км и является совместной моделью морского льда — океана. Портал полярных данных ДМИ [22] используется также как источник данных по оценке объема льда СЛО, температуры поверхности океана/морского льда, аномалий температуры воздуха и поля приземного ветра.

Для иллюстрации ледовых условий Северной Полярной области и Южного океана за последние сутки используются ежедневные циркумполярные ледовые информационные продукты НЛЦ США по оценке расположения кромки льда и ледяных массивов - MIZ (Marginal Ice Zone).

Для цветовой окраски карт использован стандарт ВМО (WMO/Td. 1215) [19] для зимнего (по возрасту) и летнего (по общей сплоченности) периодов. Следует также отметить, что в зонах стыковки карт ААНИИ, Ледовой службы отделения Аляска НОАА, КЛС и НЛЦ наблюдается определенная несогласованность границ и характеристик ледовых зон вследствие ряда различий в ледовых информационных системах подготавливающих служб. Однако, данная несогласованность несущественна для целей интерпретации ледовых условий в рамках настоящего обзора.

Для оценки распределения толщин льда в морях СМП использованы совмещенные недельные данные дистанционного зондирования ИСЗ Cryosat-2 и Sentinel-3A,В (радиолокационная альтиметрия) и SMOS (пассивное микроволновое зондирование), подготавливаемые Институтом полярных исследований им. А.Вегенера (AWI) [24].

Для получения оценок ледовитости (extent) и приведенной ледовитости – площади льда (area) отдельных секторов, морей, частей морей Северной полярной области и Южного океана и климатического положения кромок заданной повторяемости на основе данных спутниковых систем пассивного микроволнового зондирования SSMR-SSM/I-SSMIS [17] в МЦД МЛ ААНИИ принята следующая технология расчетов:

 источник данных – архивные (Cavalieri et al., 2008, Meier et al., 2006) и квазиоперативные (Maslanik and Stroeve, 1999) с задержкой 1-2 дня ежедневные матрицы (поля распределения) оценок общей сплоченности Северной (севернее 45° с.ш.) и Южной (южнее 50° с.ш.) Полярных областей на основе обработанных по алгоритму NASATEAM данных многоканальных микроволновых радиометров SSMR-SSM/I-SSMIS ИСЗ NIMBUS-7 и DMSP за период с 26.10.1978 г. по настоящий момент времени [13, 14, 15], копируемые с сервера НЦДСЛ;

- область расчета Северная и Южная Полярные области и их регионы с использованием масок океан/суша НЦДСЛ (http://nsidc.org/data/polar_stereo/tools_masks.html);
- границы используемых масок расчета отдельных меридиональных секторов, морей, частей морей Северной полярной области и Южного океана представлены на рисунках П1 П6 в полярной равноплощадной проекции Ламберта [26], не совпадают с используемыми в НЦДСЛ масками для отдельных акваторий Мирового океана и основаны на цифровой основе Международной гидрографической организации [25], повторяющей по номенклатуре, но не совпадающей по границам (вследствие отсутствия цифроосновы) публикациям «Атлас Северного ледовитого океана (1980)» и «Атлас океанов» [1, 2, 3].
- вычислительные особенности расчета авторское программное обеспечение ААНИИ с сохранением точности расчетов и оценке статистических параметров по гистограмме распределения и свободно-распространяемое программное обеспечение GDAL для векторизации полей климатических параметров;

В графическом формате PNG совмещенные карты ААНИИ-КЛС-НЛЦ Ледовой службы отделения Аляска HOAA доступны по адресу http://wdc.aari.ru/datasets/d0040.

Результаты расчетов ледовитости Северной, Южной полярных областей, их отдельных меридиональных секторов, морей и частей морей доступны на сервере МЦД МЛ ААНИИ в каталогах соответственно http://wdc.aari.ru/datasets/ssmi/data/north/extent/ и http://wdc.aari.ru/datasets/ssmi/data/south/extent/.

Оценки толщины льда основаны на совмещенных альтиметрических и пассивных микроволновых данных ИСЗ CryoSAT-2, SMOS и Sentinel-3 [27], описание алгоритма обработки приведено в [28].

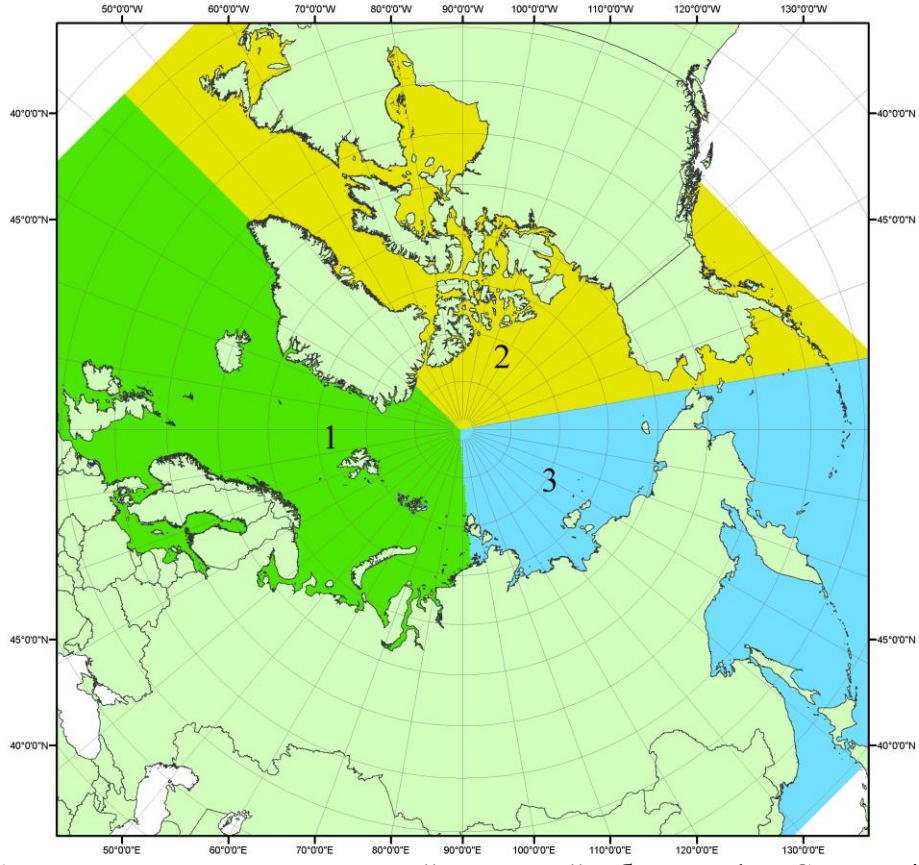


Рисунок П1 — Секторальное деление северной полярной области. 1 - Сектор 45° W- 95° E (Гренландское - Карское моря); 2 - Сектор 170° W- 45° W (море Бофорта и Канадская Арктика); 3 - Сектор 95° E- 170° W (моря Лаптевых - Чукотское, Берингово, Охотское, Японское)

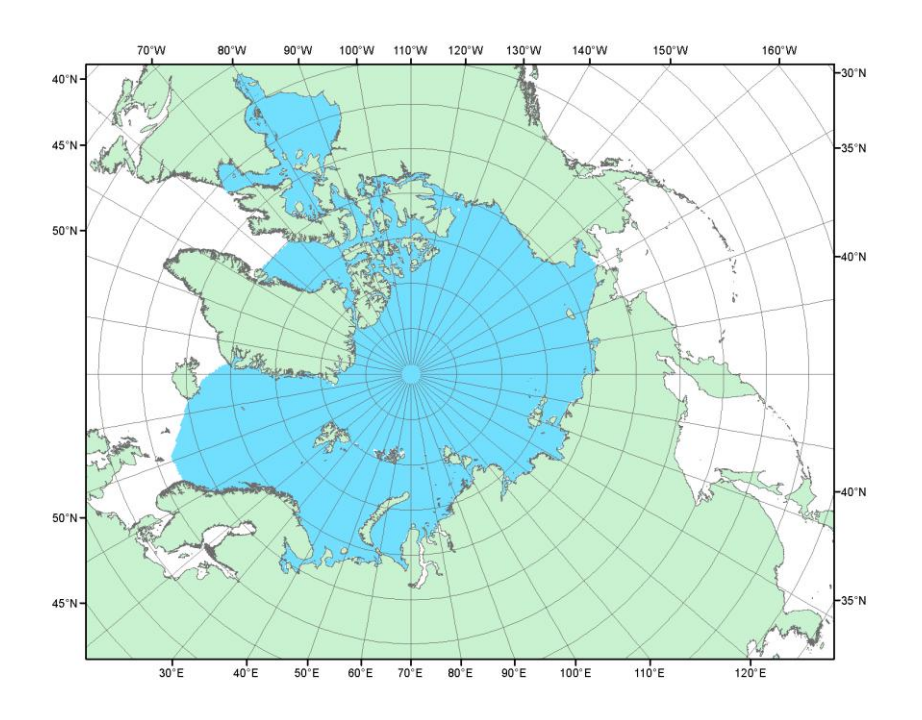


Рисунок П2 – Северный ледовитый океан в официальных границах

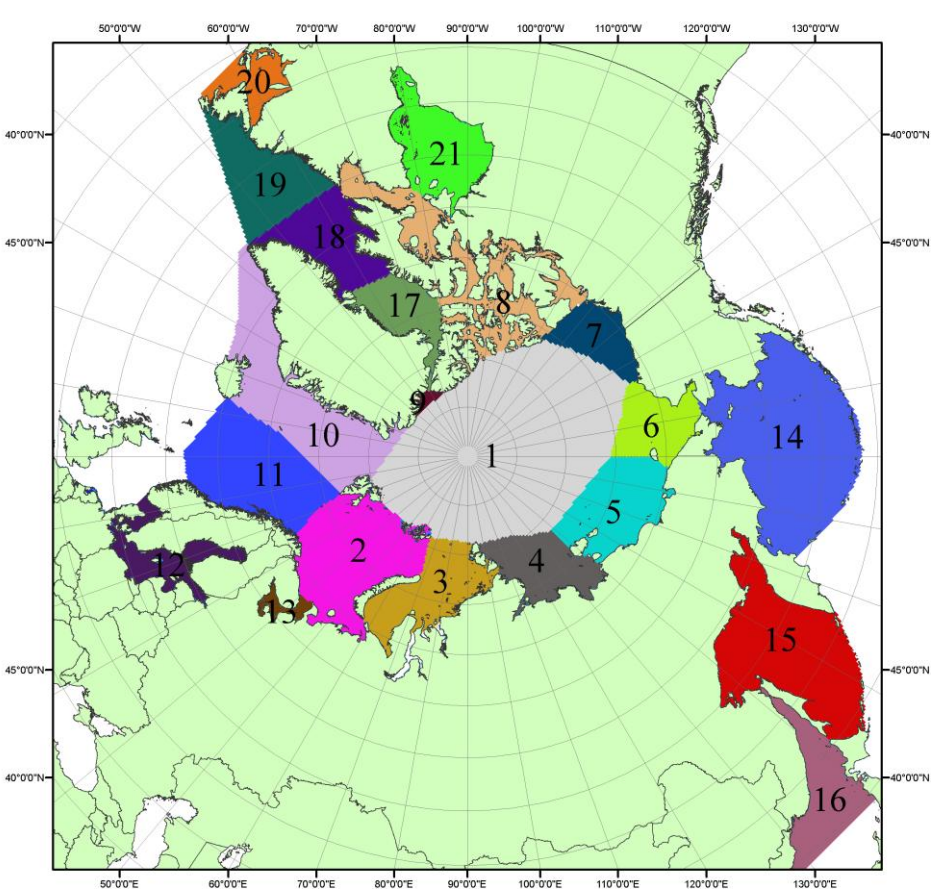


Рисунок ПЗ — Моря северной полярной области. 1 — Арктический бассейн; 2- Баренцево море; 3 — Карское море; 4 — море Лаптевых; 5 - Восточно-Сибирское море; 6 — Чукотское море; 7 — море Бофорта; 8 — Канадский архипелаг; 9 — море Линкольна; 10 — Гренландское море; 11 — Норвежское море; 12 — Балтийское море; 13 — Белое море; 14 — Берингово море; 15 — Охотское море; 16 — Японское море; 17 — море Баффина; 18 — Дейвисов пролив; 19 — море Лабрадор; 20 — залив Святого Лаврентия; 21 — Гудзонов залив.

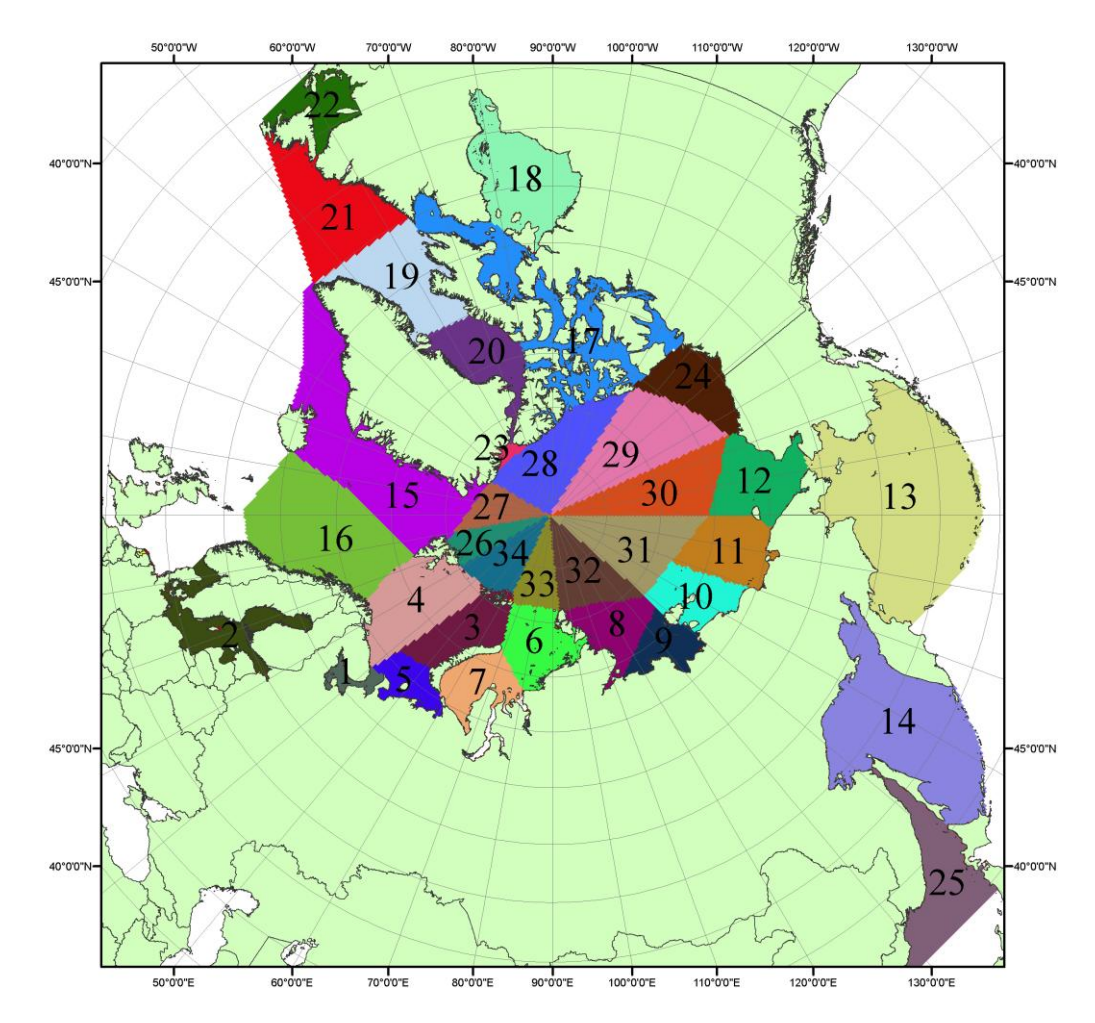


Рисунок П4 — Сектора и моря северной полярной области. 1 - Белое море; 2- Балтийское море; 3 — Баренцево море (СВ); 4 — Баренцево море (3); 5 - Баренцево море (ЮВ); 6 — Карское море (СВ); 7 — Карское море (ЮЗ); 8 — море Лаптевых (В); 9 — море Лаптевых (З); 10 — Восточно-Сибирское море (З); 11 — Восточно-Сибирское море (В); 12 — Чукотское море; 13 — Берингово море; 14 — Охотское море; 15 — Гренландское море; 16 — Норвежское море; 17 — Канадский архипелаг; 18 — Гудзонов залив; 19 — Дейвисов пролив; 20 - море Баффина; 21 — море Лабрадор; 22 - залив Святого Лаврентия; 23 - море Линкольна; 24 - море Бофорта; 25 - Японское море; 26 - сектор АО (30°з.д. — 10°в.д.); 27 — сектор АО (10°в.д. — 30°в.д.); 28 - сектор АО (30°в.д. — 65°в.д.); 29 - сектор АО (65°в.д. — 96°в.д.); 30 - сектор АО (96°в.д. — 140°в.д.); 31 - сектор АО (140°в.д. — 180°в.д.); 32 - сектор АО (180°в.д. — 156°з.д.); 33 - сектор АО (156°з.д. — 123°з.д.); 34 - сектор АО (123°з.д. — 30°з.д.).

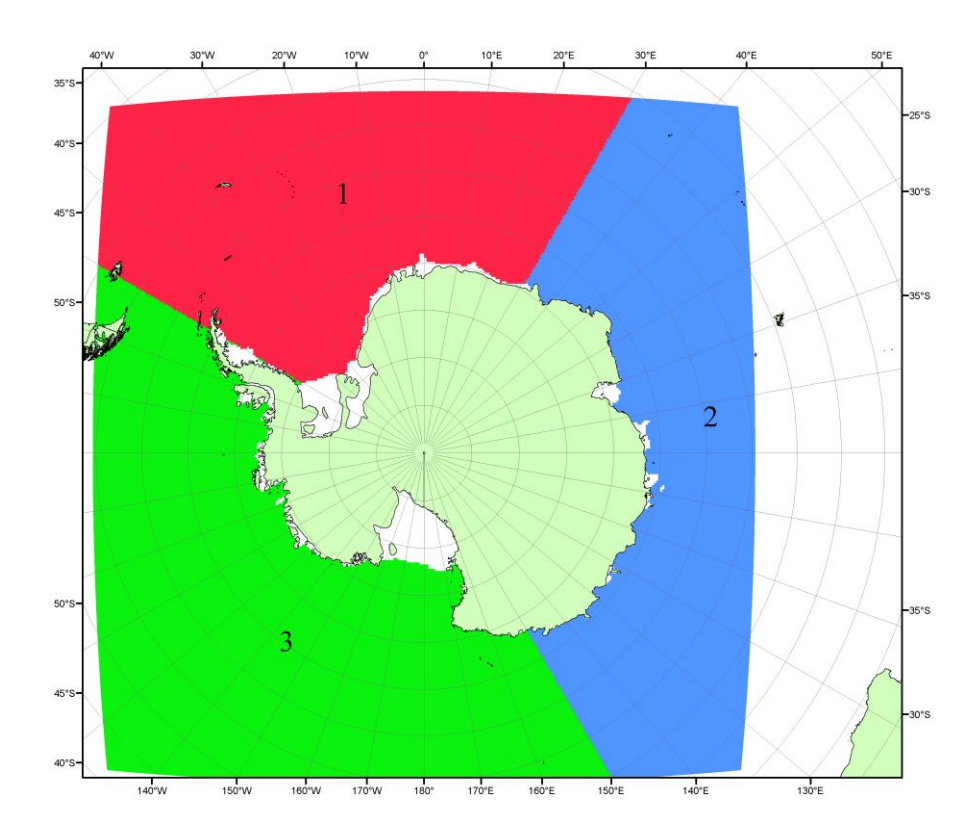


Рисунок П5 — Секторальное деление Южного океана. 1 - Атлантический сектор (60° W- 30° E, море Уэдделла); 2 - Индоокеанский сектор (30° E- 150° E, моря Космонавтов, Содружества, Моусона); 3 - Тихоокеанский сектор (150° E- 60° W, моря Росса, Беллинсгаузена)

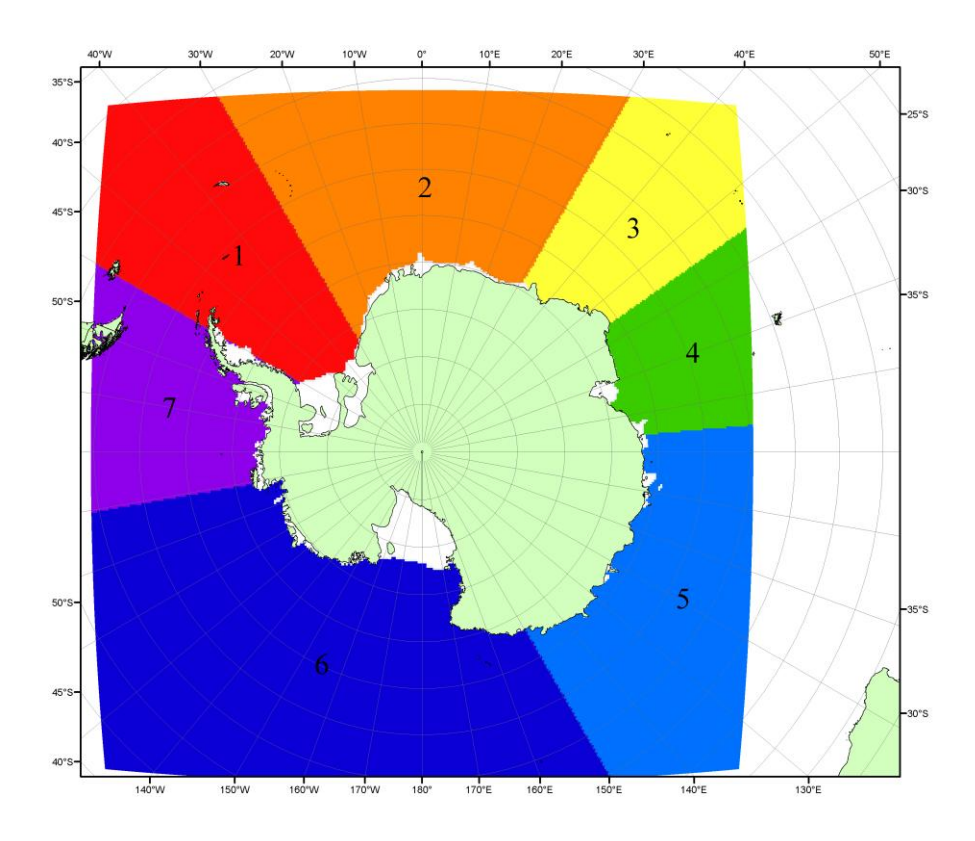


Рисунок Пб — Моря Южного океана. 1 — Западная часть моря Уэдделла; 2- Восточная часть моря Уэдделла; 3 — Море Космонавтов; 4 — море Содружества; 5 — море Моусона; 6 — море Росса; 7 — Море Беллинсгаузена.

Список источников

- 1. Атлас океанов. Северный Ледовитый океан. 1980. М: Изд. ГУНИО МО СССР ВМФ 184 с.
 - 2. Атлас океанов. Термины. Понятия. Справочные таблицы. Изд. ВМФ МО СССР.-1980.
 - 3. Границы океанов и морей. 1960. Л.: Изд. ГУНИО ВМФ. 51 с.
- 4. Обзорные ледовые карты ФГБУ «ААНИИ» Северного Ледовитого океана за 2008 настоящий момент времени в обменном формате ВМО СИГРИД-3 // Мировой центр данных по морскому льду Глобальный банк данных по морскому льду http://wdc.aari.ru/datasets/d0015.
- 5. Комплексные ледовые карты ФГБУ «ААНИИ» Южного океана за 2014 год настоящий момент времени в обменном формате ВМО СИГРИД-3 // Мировой центр данных по морскому льду Глобальный банк данных по морскому льду http://wdc.aari.ru/datasets/d0015.
- 6. Комплексные ледовые карты ФГБУ «ААНИИ» арктических и замерзающих морей России за 1997 2021 гг. в обменном формате ВМО СИГРИД-3 // Мировой центр данных по морскому льду Глобальный банк данных по морскому льду http://wdc.aari.ru/datasets/d0004.
- 7. Карты ФГБУ «ААНИИ» анализа крупных айсбергов Южного океана за 2014-2020 гг. в обменном формате ВМО СИГРИД-3 // Мировой центр данных по морскому льду Глобальный банк данных по морскому льду http://wdc.aari.ru/datasets/d0015.
- 8. Комплексные ледовые карты ФГБУ «Гидрометцентр России» Азовского, Каспийского и Белого морей за 2000-2019 гг. в обменном формате ВМО СИГРИД-3 // Мировой центр данных по морскому льду Глобальный банк данных по морскому льду http://wdc.aari.ru/datasets/d0033.
- 9. Комплексные ледовые карты ФГБУ «НИЦ Планета» Азовского, Каспийского, Берингова, Охотского и Японского морей за 2016 год настоящий момент времени в обменном формате ВМО СИГРИД-3 // Мировой центр данных по морскому льду Глобальный банк данных по морскому льду http://wdc.aari.ru/datasets/d0034.
- 10. Комплексные ледовые карты Северной полярной области и Южного океана Национального ледового центра США за 2003 год настоящий момент времени в обменном формате ВМО СИГРИД-3 // Мировой центр данных по морскому льду Глобальный банк данных по морскому льду http://wdc.aari.ru/datasets/d0032.
- 11. Карты анализа крупных айсбергов Южного океана Национального ледового центра США за 2014 год настоящий момент времени в обменном формате ВМО СИГРИД-3 // Мировой центр данных по морскому льду Глобальный банк данных по морскому льду http://wdc.aari.ru/datasets/d0032.
- 12. Комплексные ледовые карты Канадской Арктики Канадской ледовой службы за 2006 настоящий момент времени в обменном формате ВМО СИГРИД-3 // Мировой центр данных по морскому льду Глобальный банк данных по морскому льду http://wdc.aari.ru/datasets/d0031.
- 13. Cavalieri, D., C. Parkinson, P. Gloersen, and H. J. Zwally. 1996, updated 2008. *Sea Ice Concentrations from Nimbus-7 SMMR and DMSP SSM/I Passive Microwave Data*, [1978.10.26 2007.12.31]. Boulder, Colorado USA: National Snow and Ice Data Center. Digital media.
- 14. Meier, W., F. Fetterer, K. Knowles, M. Savoie, M. J. Brodzik. 2006, updated quarterly. *Sea Ice Concentrations from Nimbus-7 SMMR and DMSP SSM/I Passive Microwave Data*, [2008.01.01 2008.03.25]. Boulder, Colorado USA: National Snow and Ice Data Center. Digital media.
- 15. Maslanik, J., and J. Stroeve. 1999, updated daily. *Near-Real-Time DMSP SSM/I-SSMIS Daily Polar Gridded Sea Ice Concentrations*, [2008.03.26 present moment]. Boulder, Colorado USA: National Snow and Ice Data Center. Digital media.
- 16. Andersen, S., R. Tonboe, L. Kaleschke, G. Heygster, and L. T. Pedersen, Intercomparison of passive microwave sea ice concentration retrievals over the high-concentration Arctic sea ice.// J. Geophys. Res. 2007. Vol. 112. C08004, doi:10.1029/2006JC003543.
- 17. Статистические характеристики сплоченности морского льда Северной полярной области и Южного океана на основе данных наблюдений SSMR-SSM/I-SSMIS, алгоритм NASATEAM // Мировой центр данных по морскому льду Глобальный банк данных по

морскому льду – http://wdc.aari.ru/datasets/ssmi.

- 18. SIGRID-3: A vector archive format for Sea Ice Georeferenced Information and Data JCOMM Technical Report Series No. 23, 2014, WMO/TD-No.1214.
- 19. Ice Chart Colour Code Standard. JCOMM Technical Report Series No. 24, 2004, WMO/TD-No.1215.

(http://jcomm.info/index.php?option=com_oe&task=viewDocumentRecord&docID=4914)

- 20. Danish Meteorological Institute North Atlantic Arctic Ocean model HYCOM-CICE http://ocean.dmi.dk/models/hycom.uk.php
- 21. Портал данных ледового анализа Южного океана Норвежского метеорологического института http://polarview.met.no/Antarctic.html
 - 22. Портал полярных данных Датского метеорологического института http://polarportal.dk
- 23. Комплексные ледовые карты Берингова и чукотского морей Ледовой службы отделения НОАА Аляска в обменном формате ВМО СИГРИД-3 // https://www.weather.gov/.
- 24. AWI CryoSat-SMOS Merged Sea Ice Thickness https://spaces.awi.de/display/CS2SMOS/CryoSat-SMOS+Merged+Sea+Ice+Thickness
- 25. Flanders Marine Institute (2018). IHO Sea Areas, version 3. Available online at URL: http://www.marineregions.org/ (дата обращения 08.04.2023).
- 26. Полярная равноплощадная проекция Ламберта. URL: https://epsg.io/3576 (дата обращения 07.04.2023).
- 27. ESA project SMOS & CryoSat-2 Sea Ice Data Product Processing and Dissemination Service and data from 2010 to 2024, obtained from https://www.meereisportal.de (grant: REKLIM-2013-04)/Ricker, R., Hendricks, S., Kaleschke, L., Tian-Kunze, X., King, J., and Haas, C.:
- 28. A weekly Arctic sea-ice thickness data record from merged CryoSat-2 and SMOS satellite data, The Cryosphere, 11, 1607-1623, https://doi.org/10.5194/tc-11-1607-2017, 2017.
- 29. Kimura, N., M. Oyama, T. Sugimura, 2022, Daily Polar Gridded Sea Ice Age, Version 1, 1.00, Arctic Data archive System (ADS), Japan, https://ads.nipr.ac.jp/dataset/A20220527-001